

デジタル画像検出システムの画像特性に関する研究班

平成14年に技術学会の班活動の1つとして組織。
(2年間の班活動)

九州大学 医学部保健学科	東田善治, 大喜雅文
広島県立保健福祉大学 放射線学科	吉田 彰
大阪大学 大学院医学系研究科	松本政雄
岐阜大学 大学院・知能イメージ情報	藤田広志
大阪市立大学 医学部附属病院	奥迫謙治
九州大学 医学部附属病院	氷室和彦
国立病院機構 九州医療センター	井手口忠光

画像評価法

客観的評価 (物理評価)

- 1 . H-D Curve
- 2 . Presampling MTF
- 3 . Digital Wiener Spectrum

画質を物理的に評価
画質の定量化

主観的評価 (視覚評価)

- 1 . ROC
- 2 . C-D diagram

視覚評価 (検出能) の
定量化

医師は自分の好みで判断することができる
画像の良し悪しを 科学的に証明!

客観的評価 (物理評価)

1 . Digital H-D Curve (10%)

2 . Presampling MTF (80%)

INNERVISION 2003年 11月

3 . Digital Wiener Spectrum (10 %)

増感紙 - フィルム (アナログ) との比較をしながら……

表計算ソフトを利用した画像解析

デジタル

国立病院機構 九州医療センター

井手口 忠光

デジタル特性曲線

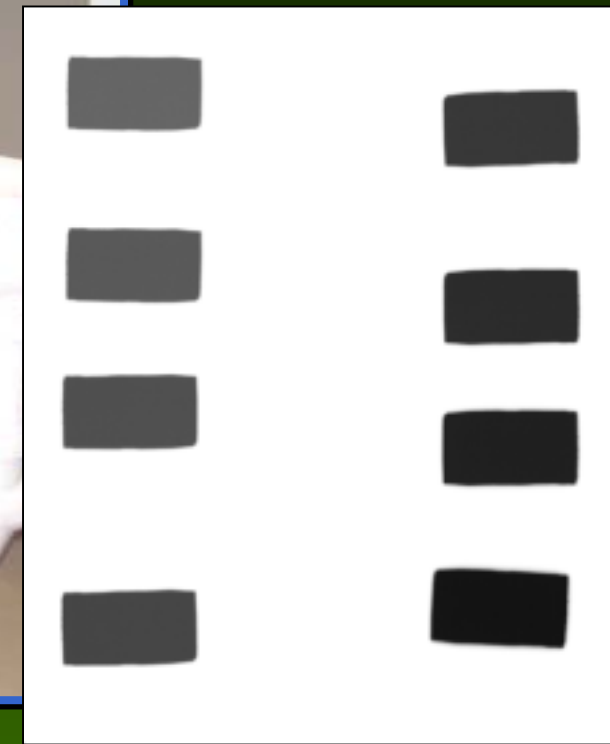
相対照射線量に対するデジタル値の関係をデジタル特性曲線(digital characteristic curve)

相対照射線量に対して、レーザーイメージャなどによってフィルム上に写真濃度として出力した特性曲線は、オーバーオール特性曲線(overall characteristic curve)

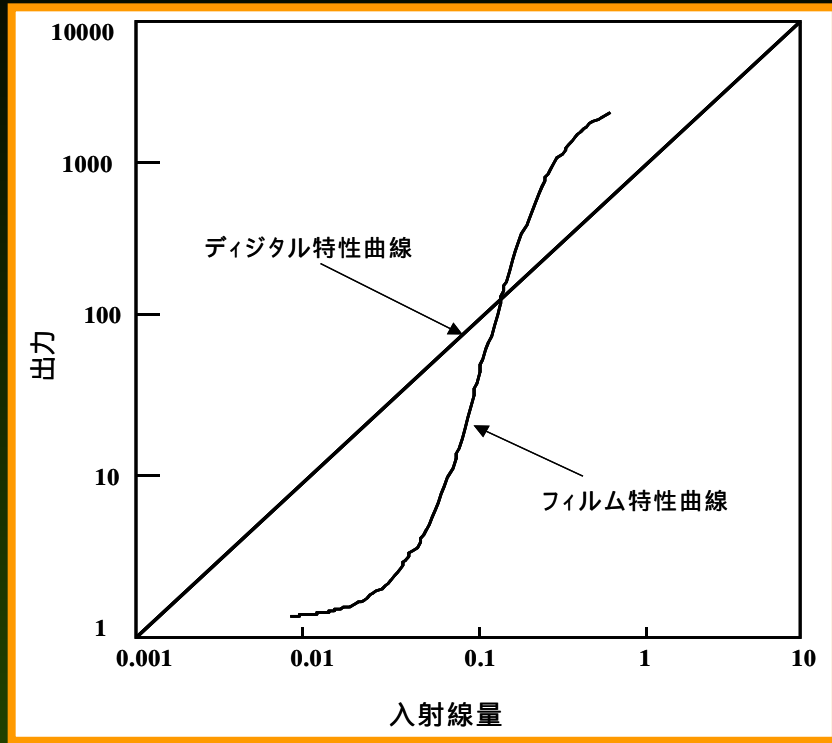
* CRシステムの入出力特性にもよく用いられてきた。

距離法

X線管 - カセットの距離をLog E が0.1の間隔になるように変化。



Digital H-D Curve



FPD 固定

- ・ 時間露光法
(相反則が成立)

CR 移動

- ・ 距離法
- ・ 時間露光法
(相反則が成立)

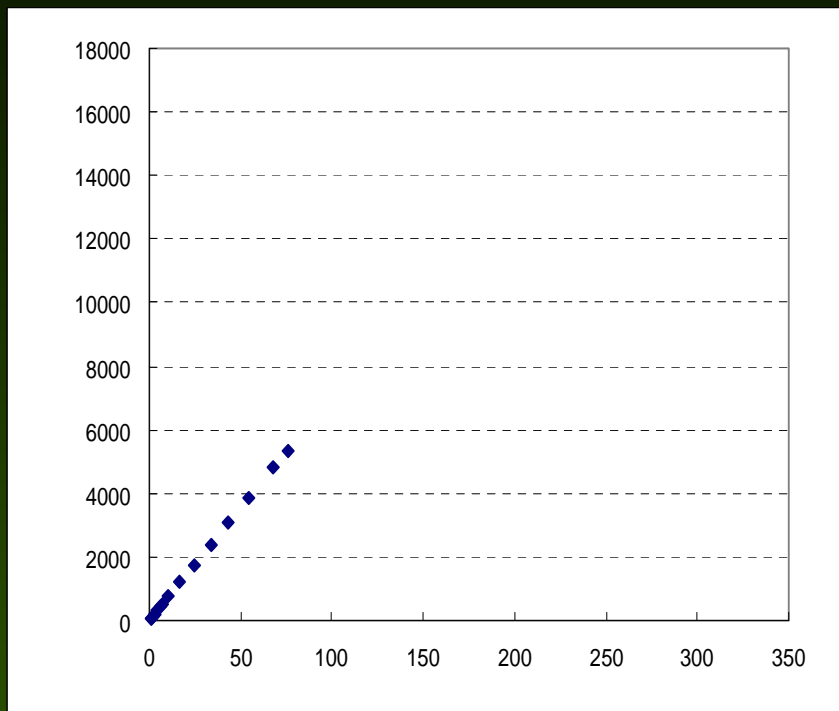
ダイナミックレンジが 10^4 と広いいため1連の実験系ですべての露光域を露光できない。距離法だと40cm ~ 40m必要となる。



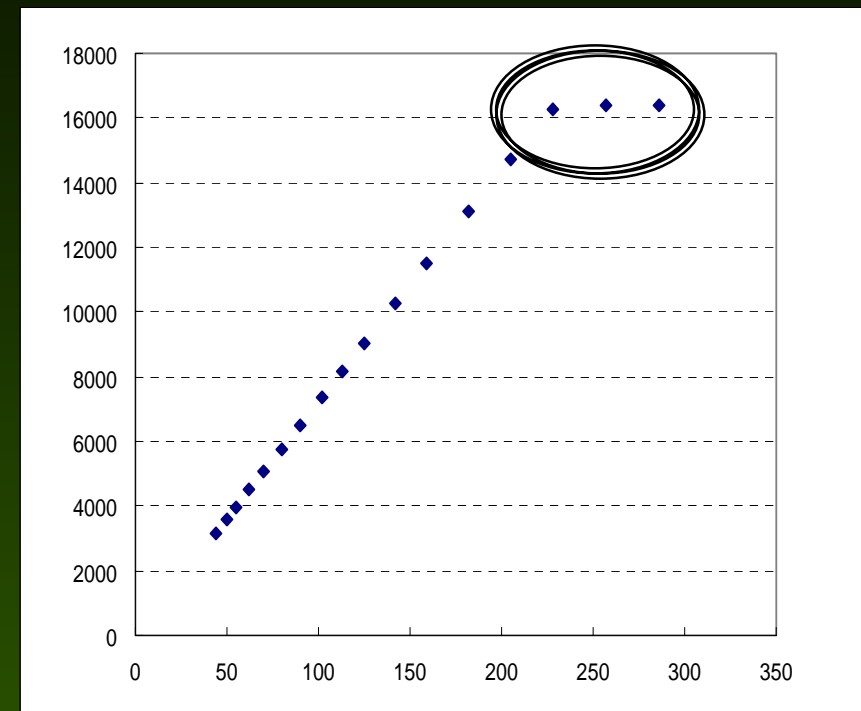
つなぎ合わせ(フィルタが必要)

つなぎ合わせによる特性曲線の作成

サチュレーション



低露光部



高露光部

デジタルの 特性曲線 & ウィナーズペクトル

80kV 100mA 0.005 ~ 0.08sec

200mA, 320mA, 400mA

100kV 100mA 0.0056 ~ 0.063sec

0.05 μ Gy ~ 12 μ Gy

0.9 μ Gy ~ 10.6 μ Gy

画像の階調はリニアで！

IP + 9枚

30cm

80cm

RAMTEC 1000 Plus
Chamber 30cc

カバー、グリッド



デジタル値の入力

Relative	Digital Value	線量(mGy)	Relative	Digital Value
1	68.7	0.0791	0.193	
1.272	87.2	0.0999	0.244	
1.616	111.3			
2.632	181.1			
4.2	291.4	0.3285	0.800	
5.928	418.2	0.51		
7.304	522.5	0.74		
10.6	751.1	1.03		
16.904	1191.8	1.47		
24.264	1709.2	1.86		
33.792	2383.2	2.2		
43.32	3057.6			
54.224	3832.6			
67.736	4798.8			
75.784	5366.4			
43.8622222	3150.4			
49.7288889	3578.9			
55.2266667	3979			
62.1511111	4491.8			
70.1244444	5067.7			
79.6622222	5758.5			
90.0888889	6520.8			
101.555556	7350.2			
113.022222	8176.7			
124.533333	9016.1			
141.822222	10269.5			
159.111111	11496.9			
182.177778	13131.6			
205.244444	14730.9			

線量計による比露光量

グラフウィザード - 1/4 - グラフの種類

標準 | ユーザー設定 |

グラフの種類(C):

- 縦棒
- 横棒
- 折れ線
- 円
- 散布図
- 面
- ドーナツ
- レーダー
- 等高線
- バブル

形式(F):

データにマーカーが付けられた折れ線グラフです。

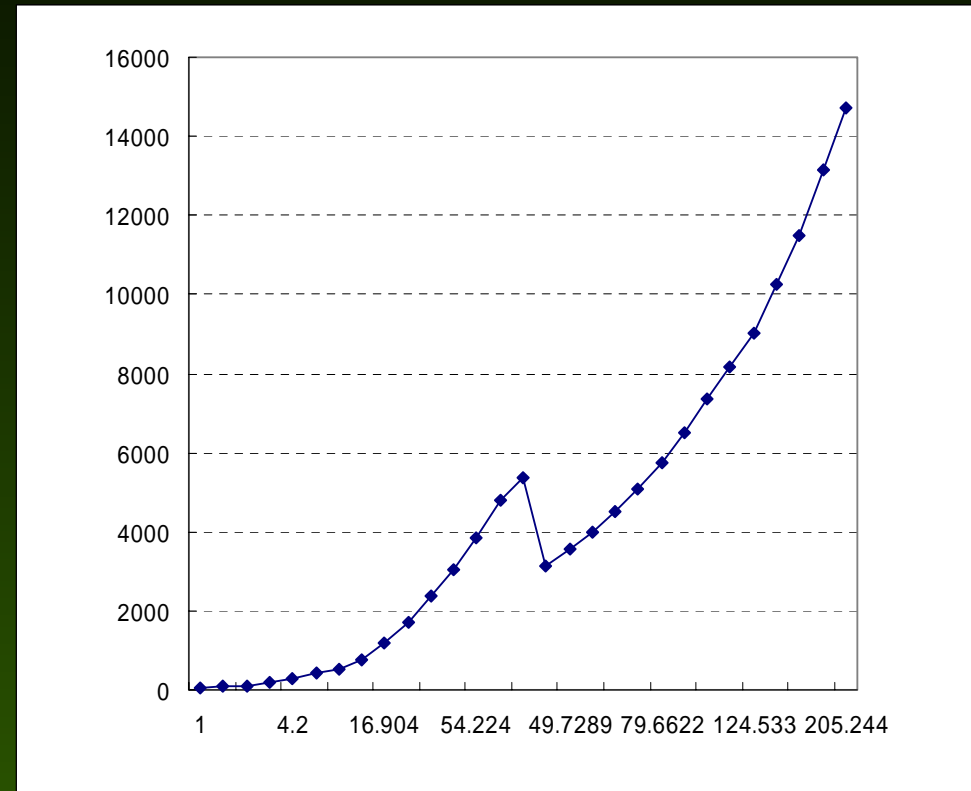
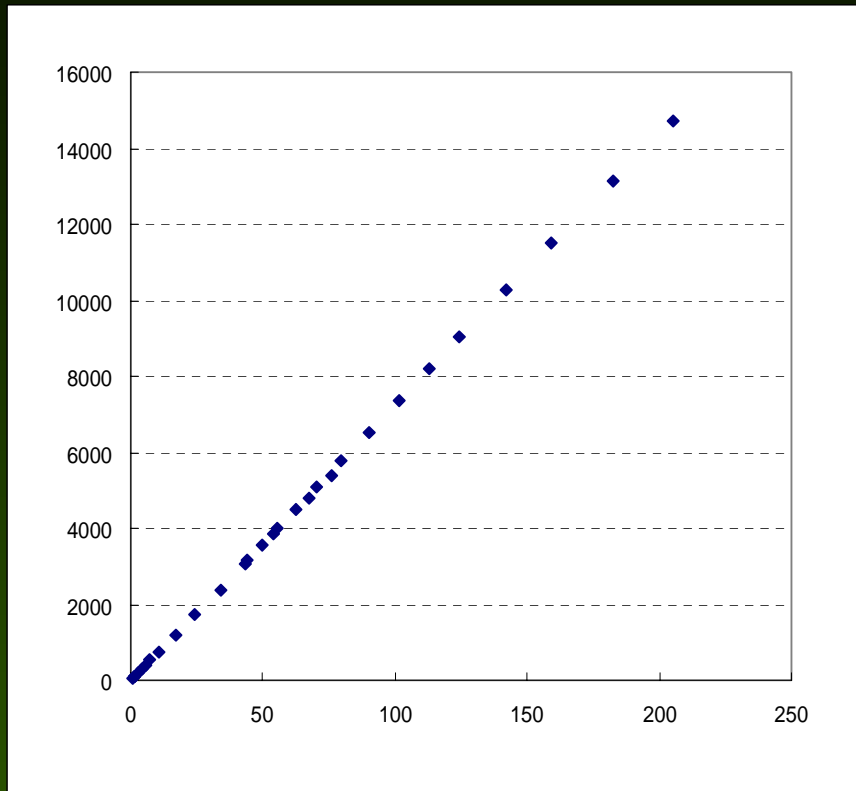
サンプルを表示する(V)

キャンセル < 戻る 次へ(N) > 完了(F)

散布図を使って表示したHD

折れ線を使って表示したHD

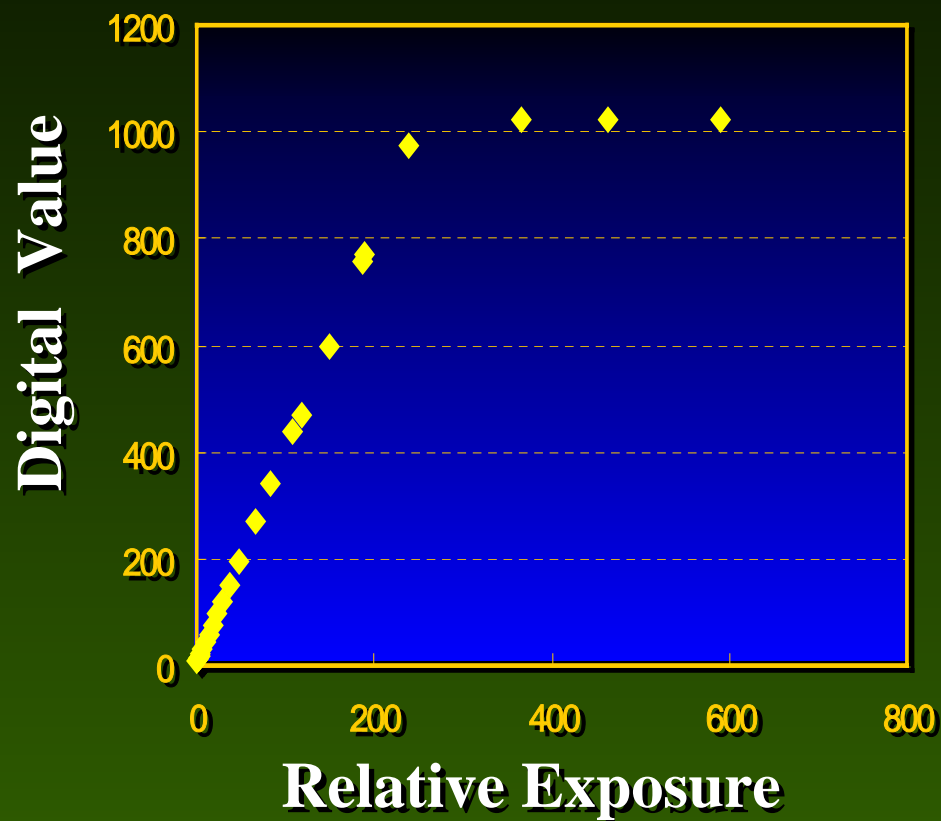
Digital Value



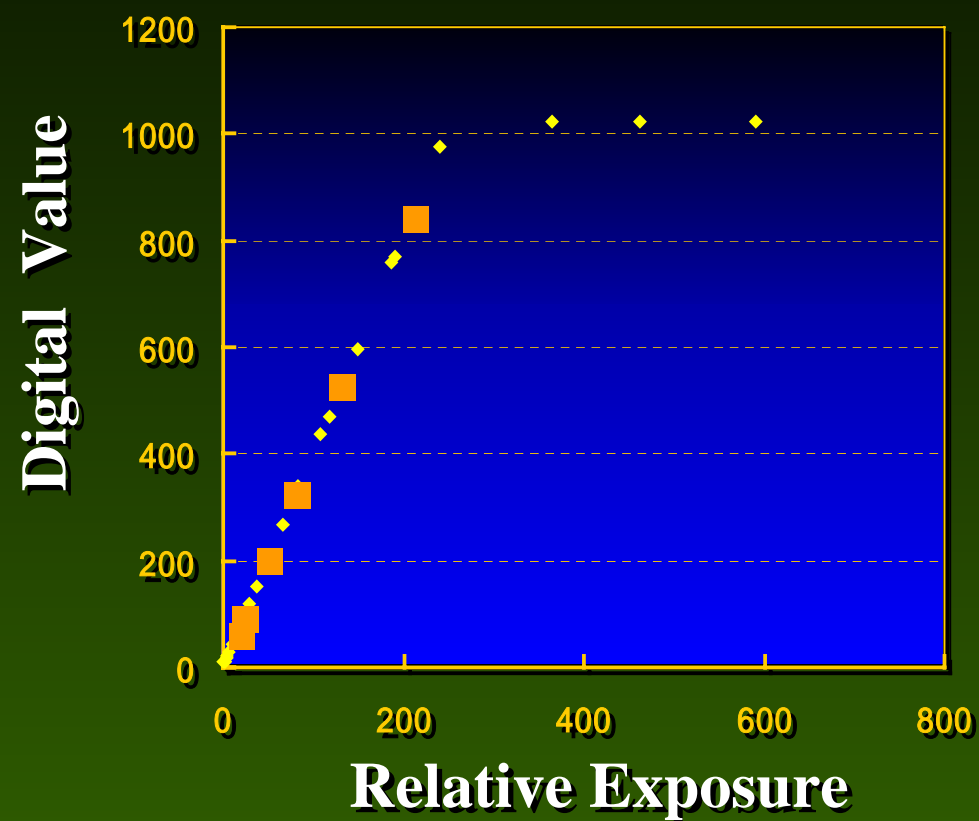
Relative Exposure

直接型FPD 特性曲線

80kV



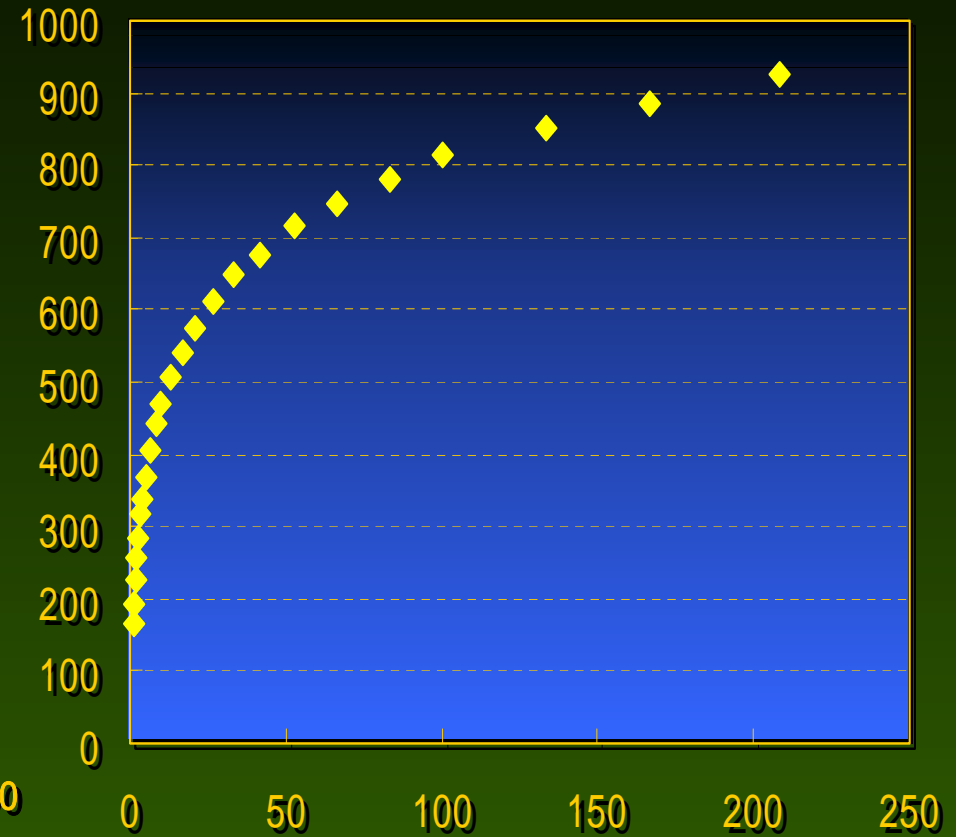
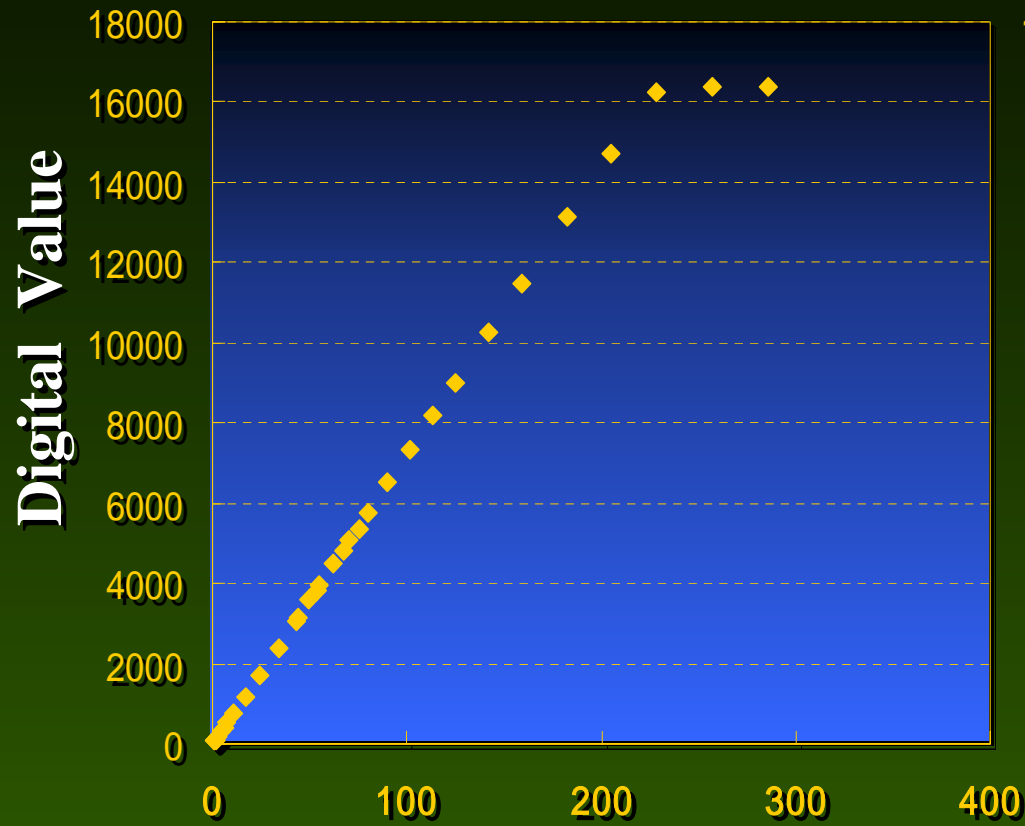
80kV & 100kV



間接型FPD & CR 特性曲線

GE FPD

FCR 50 μ m

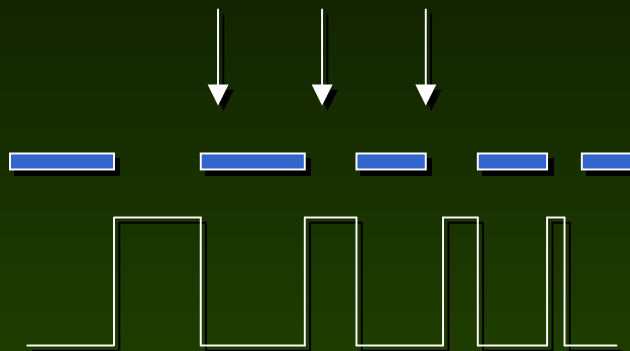


Relative Exposure

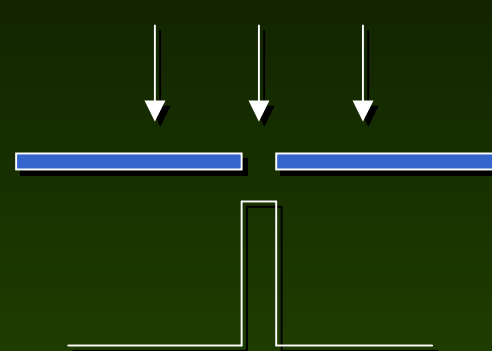
Presampling MTF

MTFの測定方法

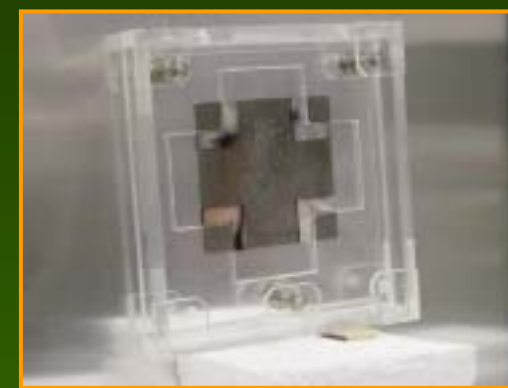
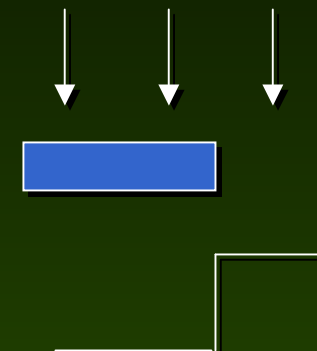
チャート法



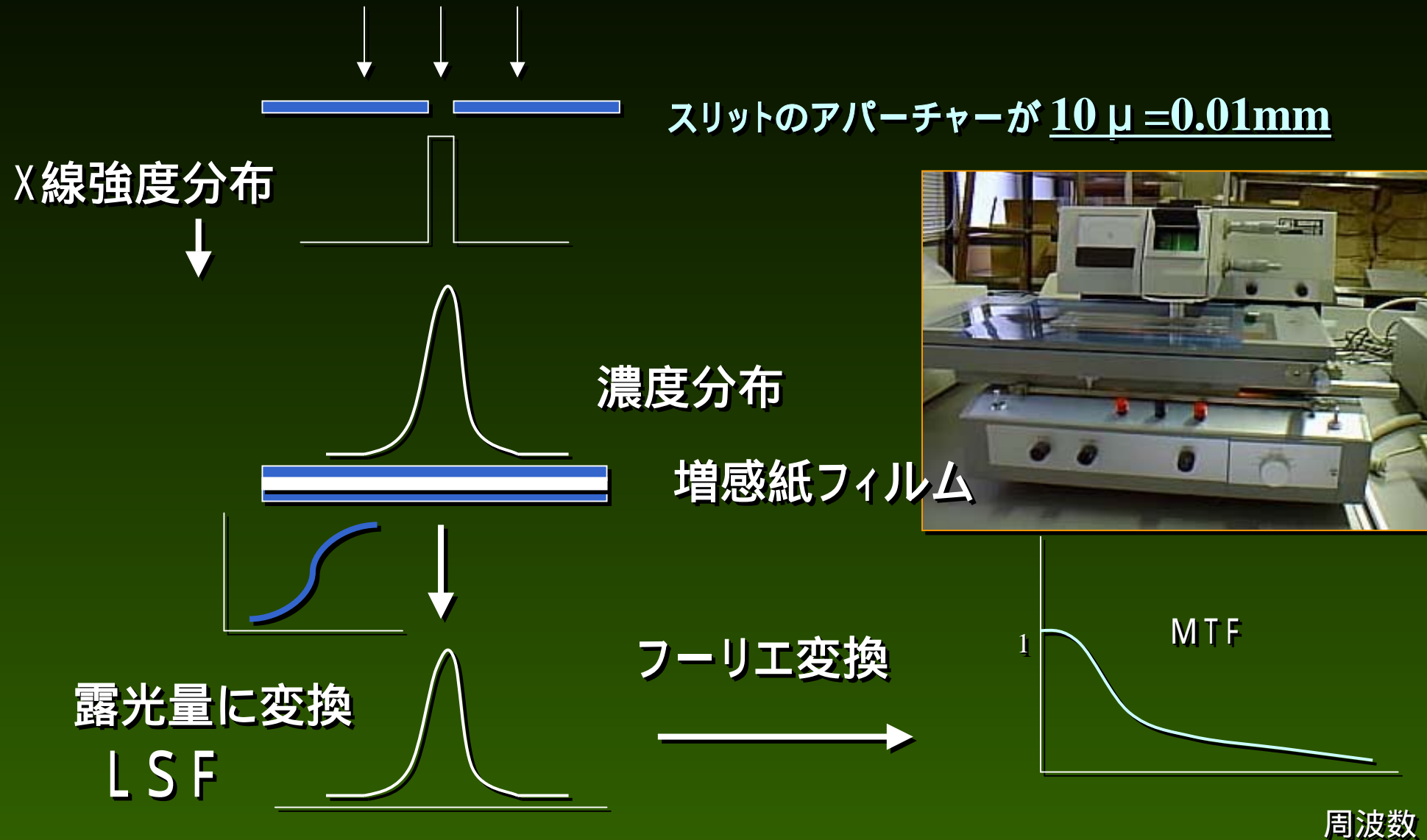
スリット法



エッジ法



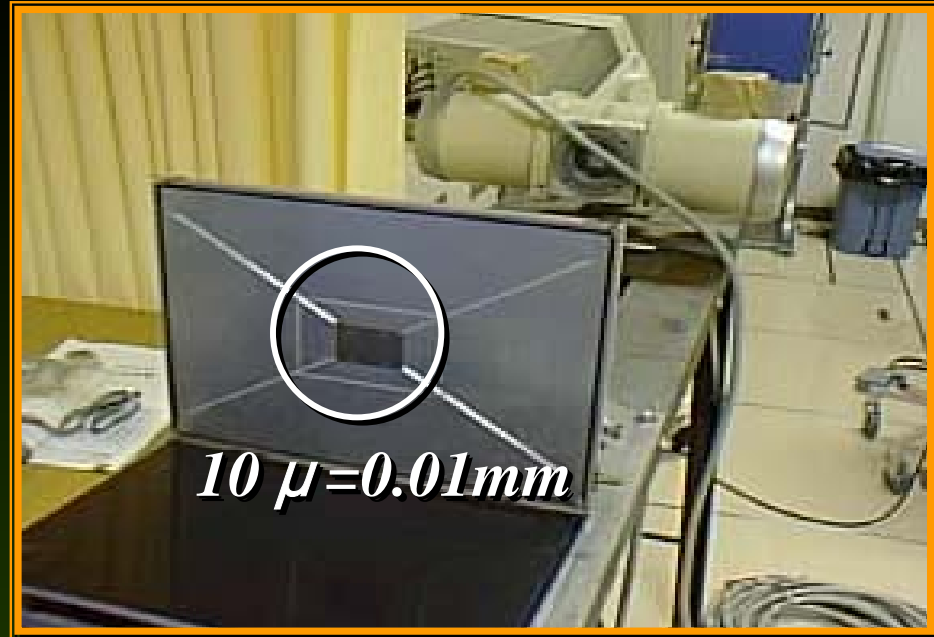
スリット法におけるMTF測定手順(アナログ)



ペーパースピード

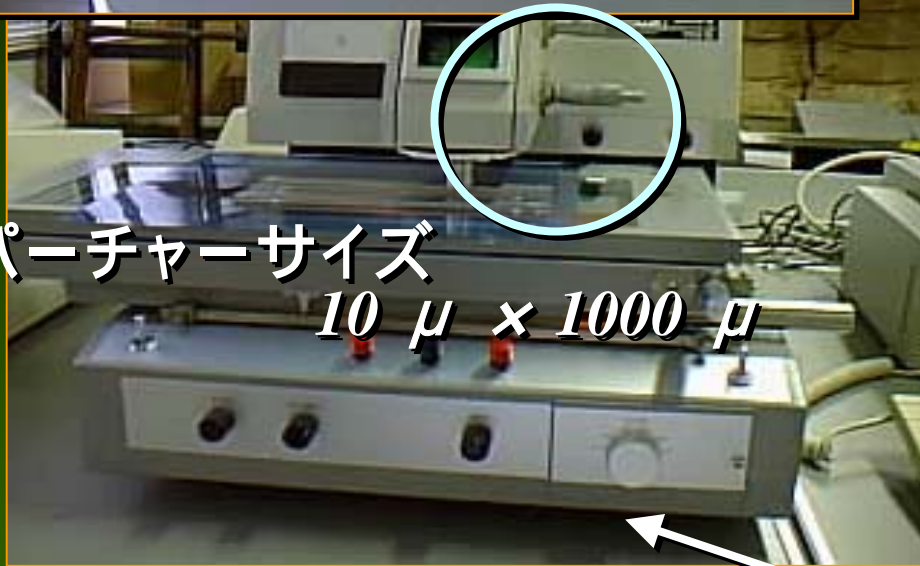
60 cm/min

最高濃度 4.0



アパーチャーサイズ

10 μ × 1000 μ



スリット像とアパーチャが平行に

テーブルスピード 0.02mm/sec

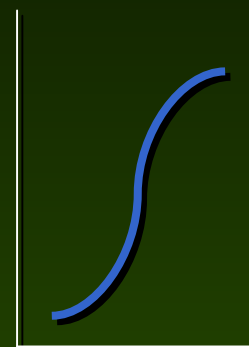


なぜ露光量変換する必要があるか？

MTFは入力波の振幅と出力波の振幅の比によって求められる。

この定義が成立するには、入力と出力との間に、直線性が必要

X線量と写真濃度の関係は直線ではない。



露光量が変わる度にMTFは変わってしまう。

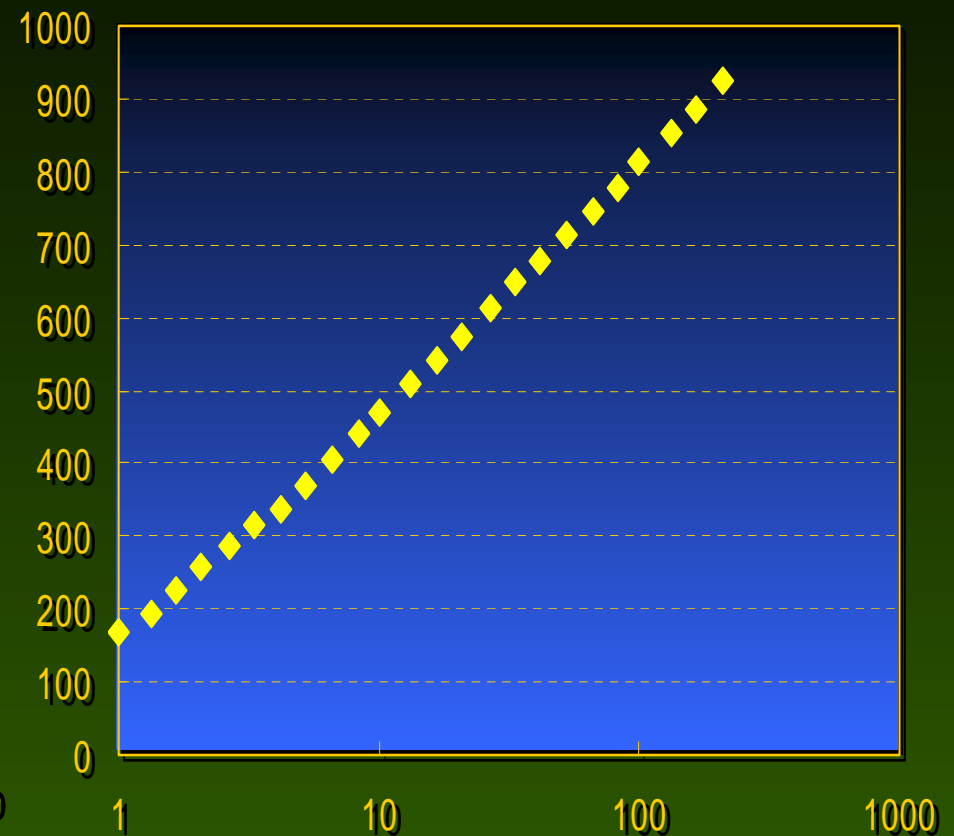
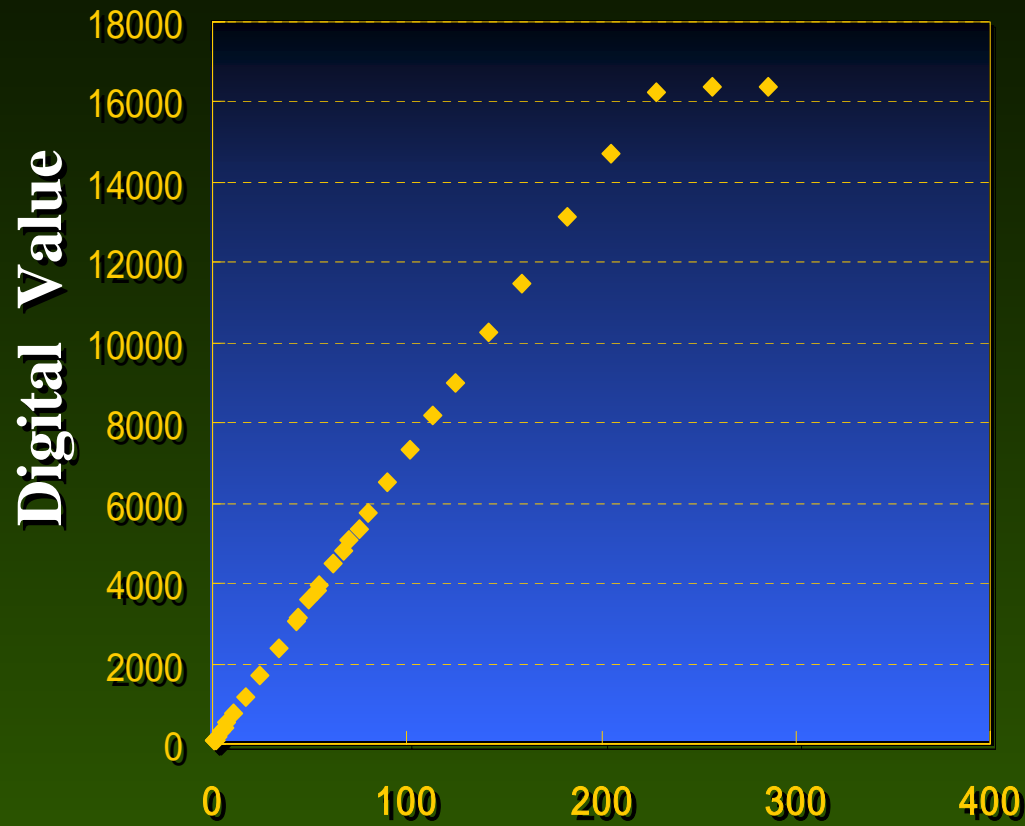


**特性曲線を用いて露光量に変換する必要がある
リニア階調に出力するデジタルでは必要？**

間接型FPD & CR 特性曲線

GE FPD

FCR 50 μ m



Relative Exposure

デジタルのMTFでは？

- デジタル系では、サンプリング間隔に起因した **エイリアシング (aliasing)** エラーや、**位置不変性**が問題となる

エイリアシング

- **エイリアシング**とは標本化点を粗く(サンプリング間隔を広く)とれば、もとの信号にない波形が観測されること

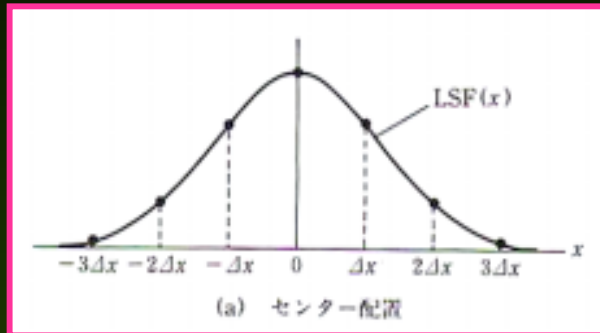
ナイキスト周波数 = $1 / (2 * \text{サンプリング間隔})$

$$5 \text{ Lp/mm} = 1 / (2 \times 0.1)$$

位置不変性

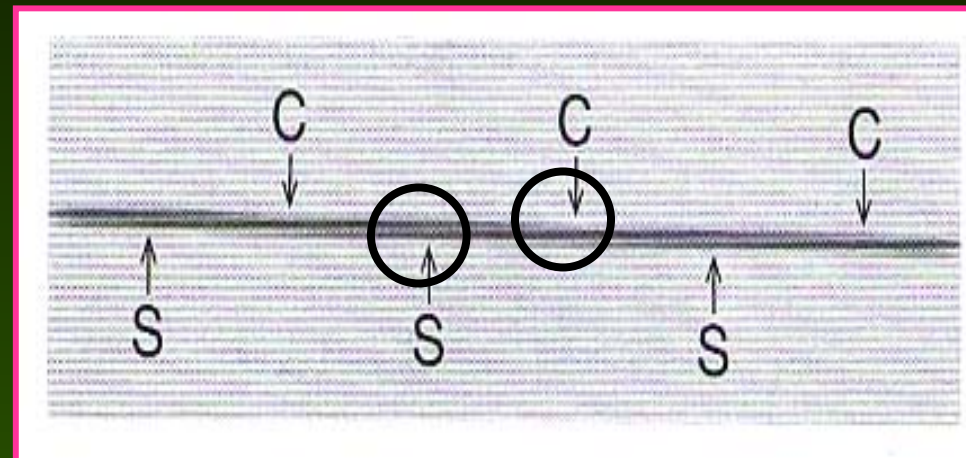
スリットとピクセルの位置関係により
スリット像の見え具合が変化する

センターアライメント



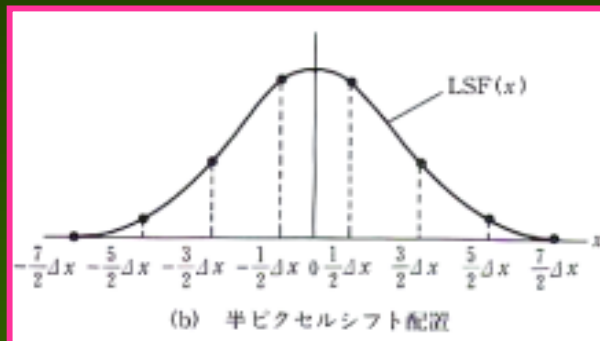
デジタル放射線画像より

サンプリング点の中心と信号の中心が
一致した配置のことをいう



医用画像工学より

シフトアライメント



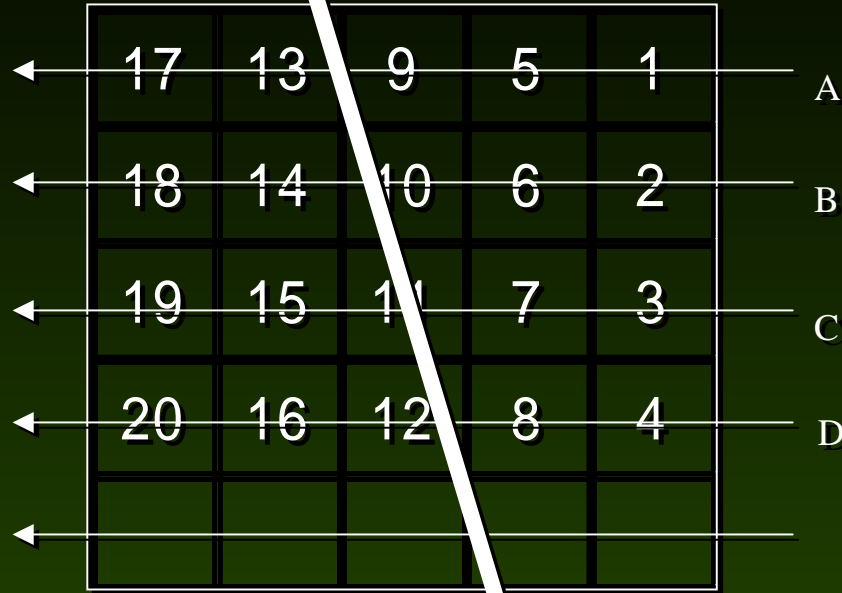
デジタル放射線画像より

サンプリング点の中心と信号の中心が
最大にずれた配置のことをいう

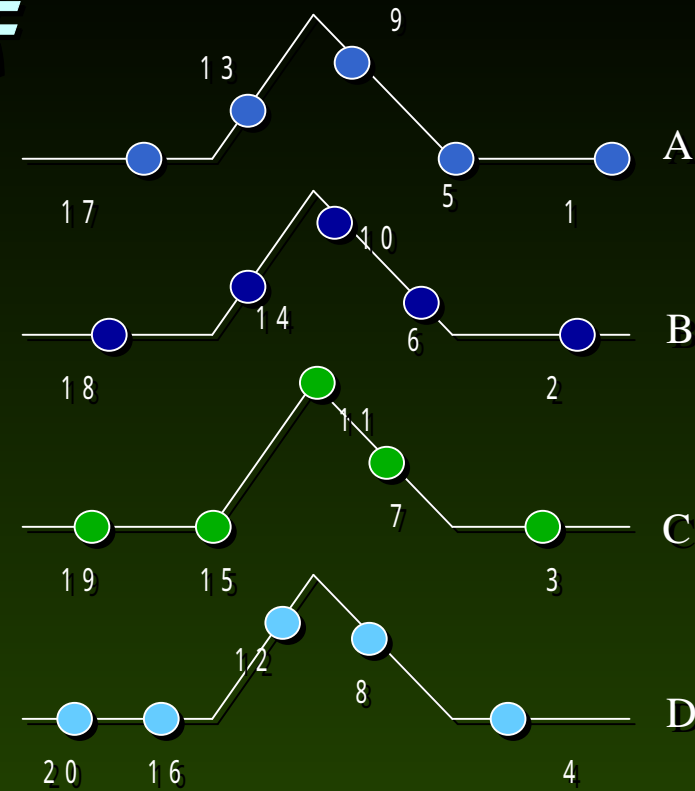
プリサンプリングMTF

- プリサンプリングMTFは**エリアシングエラー**を含んでおらず、アナログ系のMTFや他のデジタル系のMTFとの比較をするのに有効である
- **合成LSF法**とは、スリットとピクセルのいろいろな配置で得られたLSFを合成して、**実効的なサンプリング間隔**が細かくなった1本のLSFを合成し、エリアシングの影響しないMTFを計算する方法である

合成LSF法



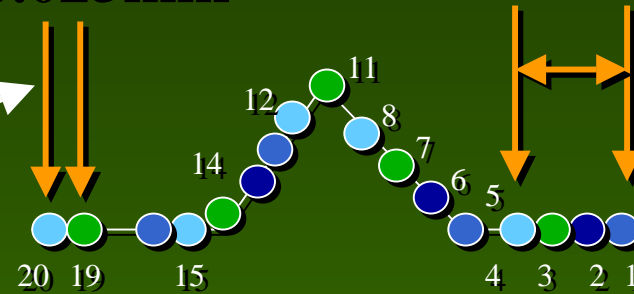
2 ~ 3° の傾き



サンプリング間隔
0.1mm

0.025mm

実効的なサンプリング間隔



デジタル特性曲線 (HD) の作成

スリットの撮影 (合成LSFの作成)

合成LSFをHD-curveより露光量変換

合成LSFの正規化

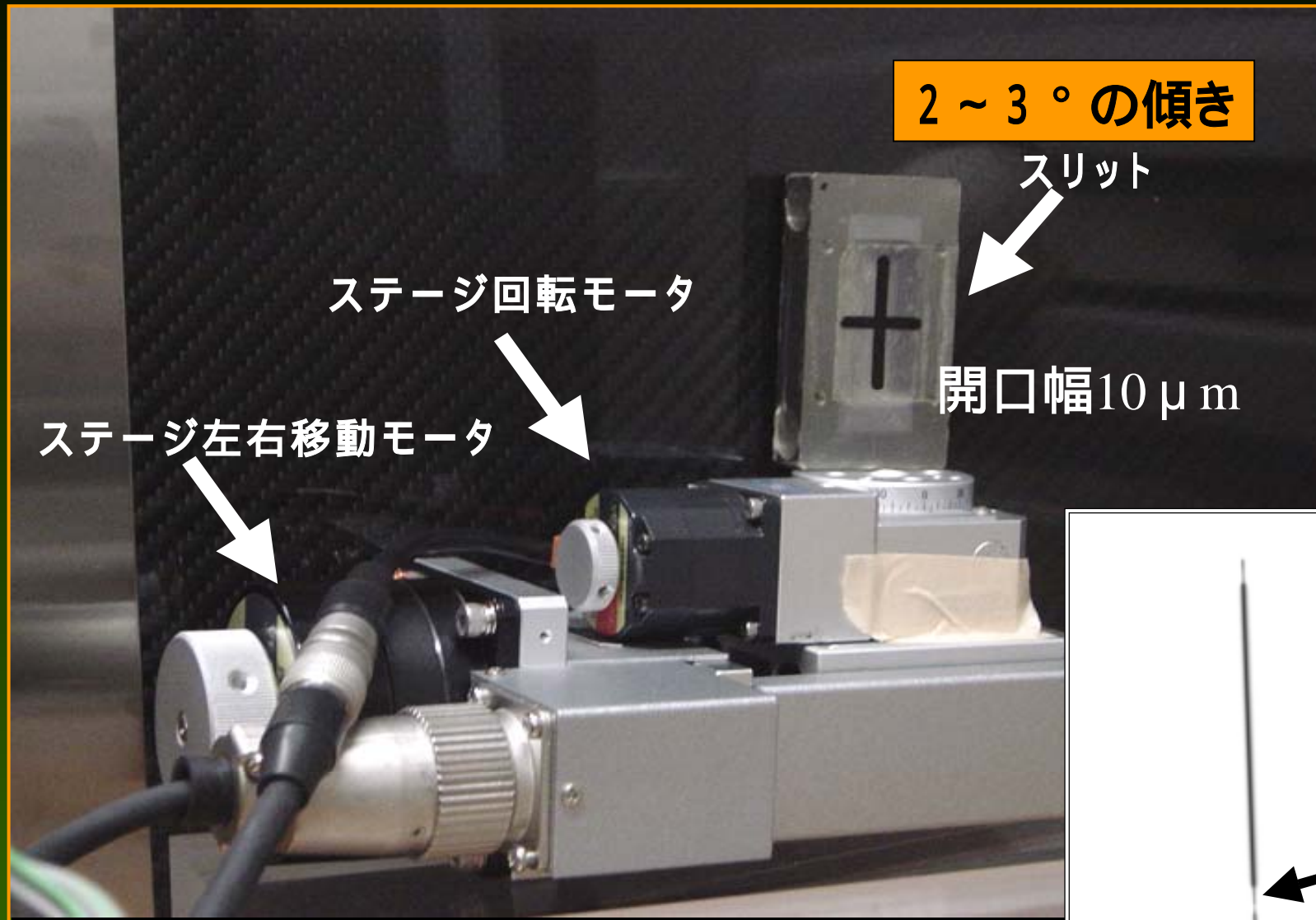
離散フーリエ (各周波数)

高速フーリエ変換

ゼロ周波数で正規化

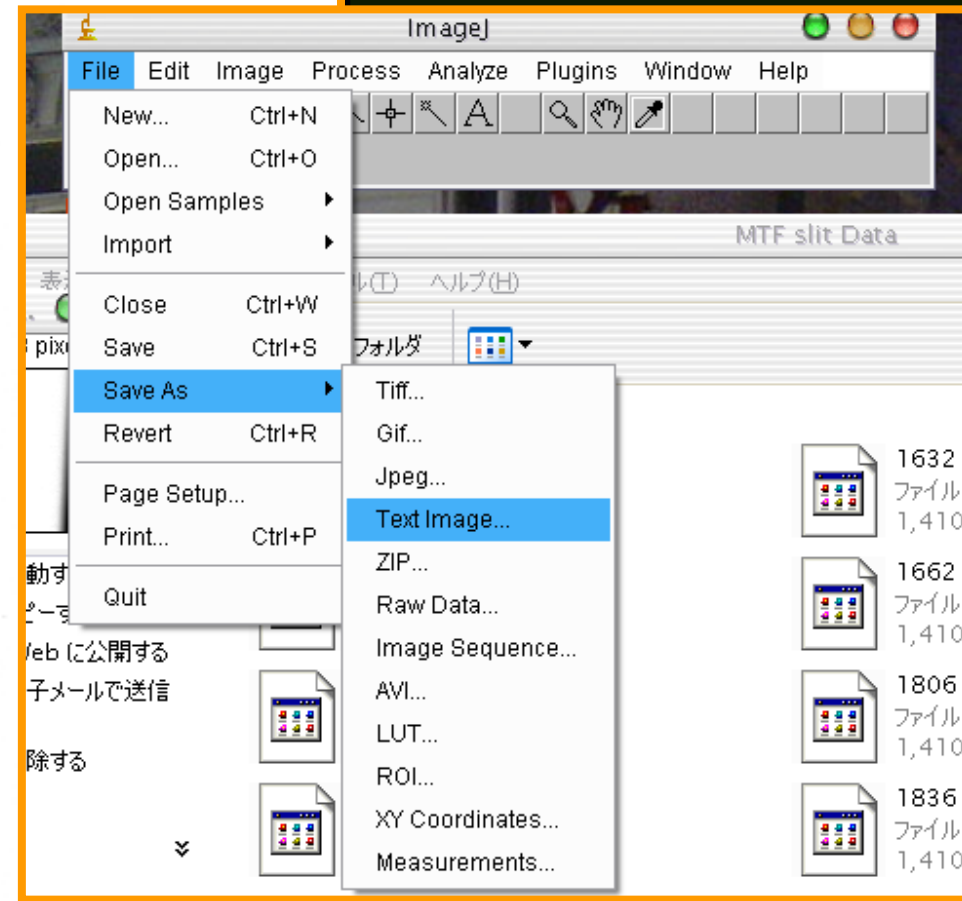
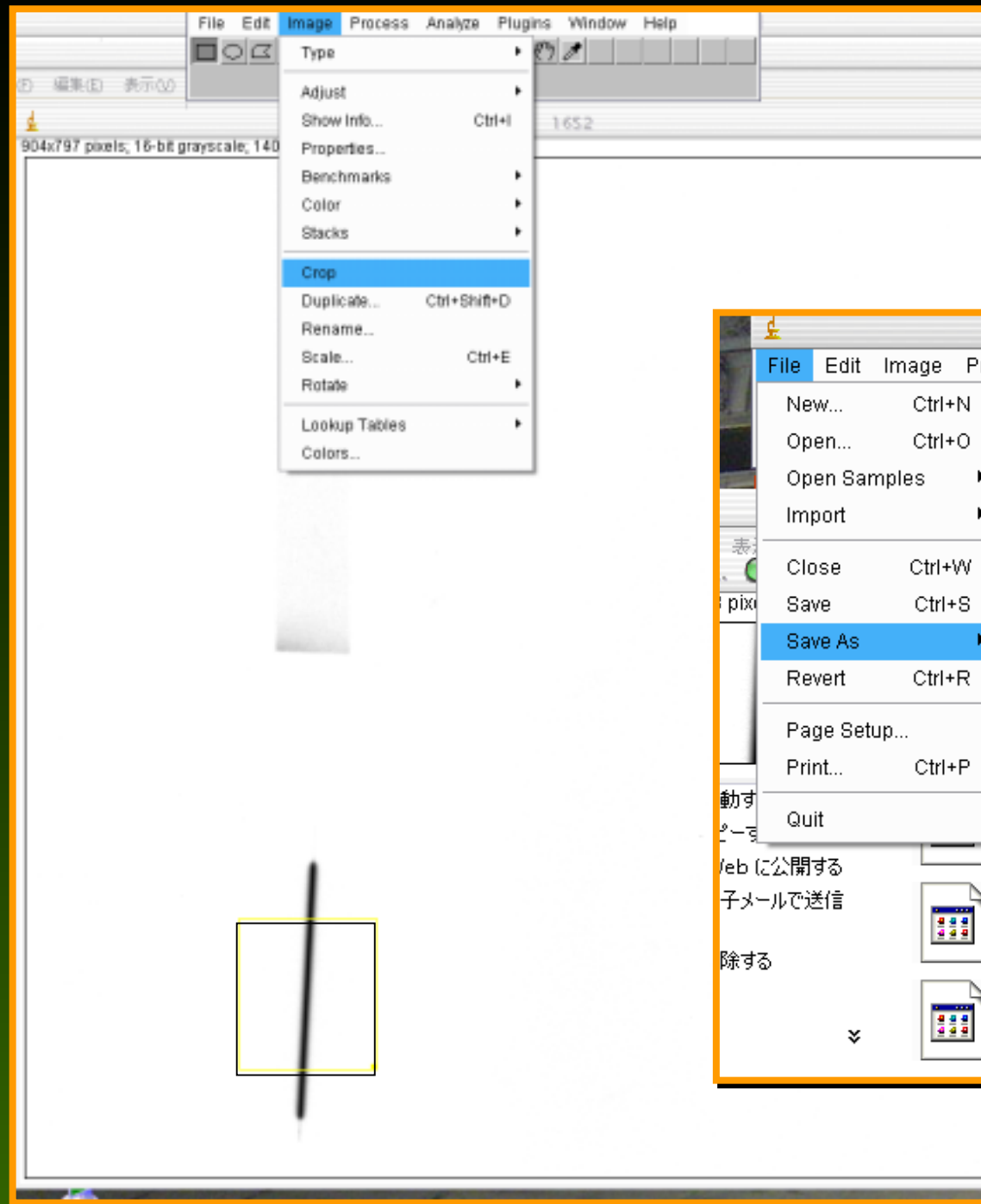
Pre-sampling MTF

FPDでスリットを撮影しましょう！





DICOM



合成LSFを作りますよ！

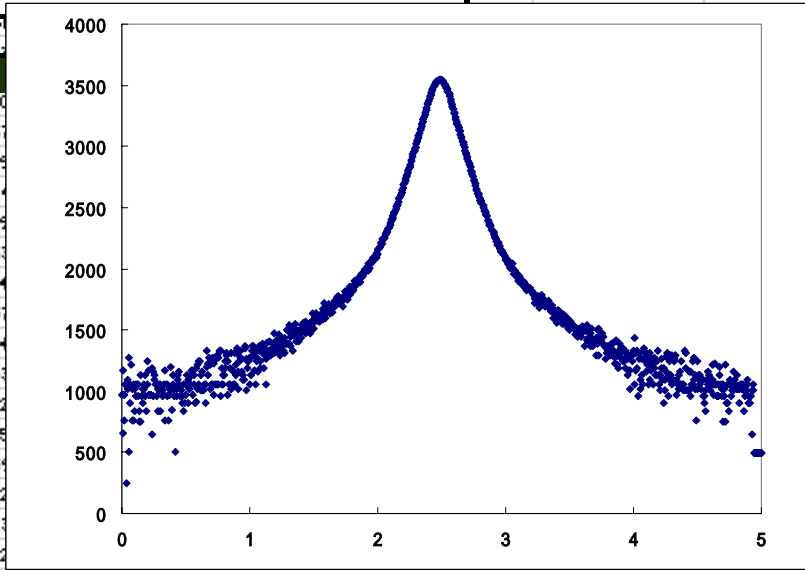
80-300-3.txt

	AN	AO	AP	AQ	AR	AS	AT	AU	AV	AW	AX	AY	AZ	BA	BB	BC	BD	BE	BF	BG	BH	BI	BJ	BK	BL	BM	BN	BO	BP	BQ	BR	BS	BT	BU	
40	1013	1056	1245	1013	1057	1192	1313	1291	1448	1501	1634	1738	1920	2226	2672	3259	3502	2929	2411	2040	1814	1725	1579	1434	1314	1221	1193	1058	1164	1193	908	908	965	1013	
41	1097	965	841	966	1133	1059	1247	1293	1421	1503	1609	1783	1938	2203	2658	3245	3514	2944	2429	2067	1777	1669	1549	1476	1405	1335	1222	1097	966	507	841	1016	967	908	
42	759	1058	653	909	1059	1165	909	1293	1165	1436	1619	1740	1922	2214	2641	3226	3529	2969	2439	2048	1800	1581	1547	1476	1405	1335	1222	1097	966	507	841	1016	967	908	
43	1015	966	841	966	1133	1059	1247	1293	1421	1503	1609	1783	1938	2203	2658	3245	3514	2944	2429	2067	1777	1669	1549	1476	1405	1335	1222	1097	966	507	841	1016	967	908	
44	652	966	841	966	1133	1059	1247	1293	1421	1503	1609	1783	1938	2203	2658	3245	3514	2944	2429	2067	1777	1669	1549	1476	1405	1335	1222	1097	966	507	841	1016	967	908	
45	1060	1133	1059	1247	1293	1421	1503	1609	1783	1938	2203	2658	3245	3514	2944	2429	2067	1777	1669	1549	1476	1405	1335	1222	1097	966	507	841	1016	967	908	965	1013		
46	966	841	966	1133	1059	1247	1293	1421	1503	1609	1783	1938	2203	2658	3245	3514	2944	2429	2067	1777	1669	1549	1476	1405	1335	1222	1097	966	507	841	1016	967	908		
47	966	1058	1097	966	1247	1293	1315	1165	1371	1538	1609	1747	1880	2145	2553	3122	3547	3031	2504	2103	1901	1706	1636	1371	1405	1247	966	1194	1059	966	1015	967	1016	908	
48	758	964	1058	1058	1058	1164	1014	1274	1420	1559	1691	1856	2121	2533	3111	3545	3070	2517	2092	1850	1712	1580	1500	1314	1058	1246	1334	966	759	1015	653	759	908		
49	1193	964	1058	1221	1096	1292	1221	1164	1354	1420	1599	1726	1892	2131	2524	3083	3547	3090	2532	2132	1882	1691	1514	1500	1292	1270	1058	1221	1059	1165	1059	1165	966	841	
50	839	963	1013	1057	1269	1095	1192	1291	1373	1434	1558	1711	1846	2109	2522	3065	3545	3107	2546	2119	1886	1738	1558	1333	1352	1270	1058	1132	1132	1058	1132	965	908	841	
51	963	962	1130	1056	1012	1244	1268	1290	1290	1402	1512	1717	1873	2110	2502	3043	3543	3133	2576	2158	1880	1697	1607	1489	1313	1131	1192	1269	1095	1057	964	757	1013	908	
52	1056	1055	1012	963	1130	1268	1056	1244	1386	1475	1557	1703	1825	2091	2481	3027	3539	3149	2586	2162	1885	1757	1625	1476	1387	1369	1013	1013	907	964	839	1057	757	507	
53	1012	837	1012	963	756	1290	1191	1290	1332	1368	1557	1737	1840	2070	2466	3010	3534	3166	2606	2164	1910	1763	1634	1547	1476	1333	1313	1220	1013	757	1245	1057	839	908	
54	1163	756	907	964	1245	1291	1269	1333	1291	1513	1501	1704	1855	2069	2463	2991	3531	3185	2607	2179	1927	1775	1634	1514	1314	1370	1164	1221	1014	965	1058	246	1058	908	
55	965	1013	1014	1058	1014	1096	1132	1435	1388	1435	1570	1676	1842	2070	2446	2968	3517	3202	2625	2201	1928	1739	1580	1433	1334	1164	1164	1058	1059	1015	1058	1015	1097	246	
56	1058	964	1058	1193	1096	965	1246	1058	1354	1420	1537	1691	1831	2047	2429	2947	3507	3218	2646	2210	1887	1726	1590	1400	1370	1314	1058	1270	1165	966	966	1097	1097	1058	
57	1014	1057	1014	1132	1132	1058	1246	1164	1270	1370	1537	1652	1826	2038	2398	2932	3499	3238	2659	2207	1924	1739	1608	1476	1352	1058	1058	1058	1133	1194	966	1271	966	1010	
58	908	1057	1058	1058	1014	1132	1314	1221	1388	1537	1705	1841	2032	2399	2915	3488	3256	2688	2241	1954	1746	1618	1400	1420	1334	1314	1221	966	841	966	507	841	653	841	
59	1013	1056	1013	1013	1131	1131	1333	1333	1409	1403	1536	1682	1819	2019	2378	2898	3475	3278	2699	2240	1950	1732	1569	1449	1334	1270	1132	965	1164	1014	965	1058	965	1010	
60	1056	755	1056	963	1012	1162	1056	1191	1290	1402	1512	1642	1802	2006	2359	2879	3465	3298	2713	2251	1941	1757	1579	1469	1462	1245	1220	1057	1131	1131	1058	1057	907	757	1010
61	962	1010	1011	1055	1093	1055	1129	1093	1234	134	1596	1812	2011	2351	2863	3452	3315	2736	2251	1963	1689	1624	1489	1332	1162	1250	1056	1056	1056	653	1271	906	906	906	
62	962	754	837	755	1093	1055	1011	1190	1093	1234	134	1596	1812	2011	2351	2863	3452	3315	2736	2251	1963	1689	1624	1489	1332	1162	1250	1056	1056	1056	653	1271	906	906	
63	962	836	962	962	962	1243	1129	1190	1093	1234	134	1596	1812	2011	2351	2863	3452	3315	2736	2251	1963	1689	1624	1489	1332	1162	1250	1056	1056	1056	653	1271	906	906	
64	906	756	1056	1012	1094	1056	1268	1190	1093	1234	134	1596	1812	2011	2351	2863	3452	3315	2736	2251	1963	1689	1624	1489	1332	1162	1250	1056	1056	1056	653	1271	906	906	
65	1055	837	1011	1218	905	1011	1190	1093	1234	134	1596	1812	2011	2351	2863	3452	3315	2736	2251	1963	1689	1624	1489	1332	1162	1250	1056	1056	1056	653	1271	906	906		
66	1055	1011	1093	755	962	1055	1093	1129	1190	1511	1512	1597	1780	1959	2301	2772	3364	3409	2820	2324	1993	1814	1718	1558	1419	1333	1333	1269	1220	1013	1057	1013	757	841	
67	1161	962	1055	905	837	1331	1190	1267	1349	1417	1500	1666	1780	1983	2277	2751	3342	3425	2834	2332	2018	1792	1659	1526	1403	1351	1269	1333	1245	1095	1057	839	245	245	
68	1009	903	960	903	1009	1009	903	1053	1265	1415	1498	1586	1766	1964	2265	2726	3322	3443	2853	2338	1986	1749	1596	1547	1331	1385	1267	962	1055	1129	962	1055	1011	841	
69	1093	1093	905	1055	1093	1190	1011	1349	1349	1460	1461	1650	1756	1926	2253	2715	3302	3458	2877	2358	2039	1819	1643	1476	1313	1313	1163	1333	1245	1163	839	964	1095	1100	
70	904	904	904	1054	1160	1310	1092	1330	1242	1473	1474	1632	1779	1955	2238	2696	3282	3472	2892	2379	2006	1808	1696	1569	1433	1191	1130	1191	1130	1056	1012	1056	756	906	
71	1091	960	903	835	1053	1009	1159	1309	1347	1458	1445	1604	1701	1943	2222	2679	3267	3486	2914	2394	2029	1801	1665	1514	1385	1349	1093	1055	1011	962	1011	962	1055	1093	906
72	903	1053	960	1053	1053	1009	1287	1241	1241	1383	1510	1566	1679	1900	2199	2653	3242	3498	2933	2400	2052	1852	1709	1489	1385	1289	1093	1055	1011	962	1011	962	1055	1093	906
73	903	753	647	1091	1127	1009	1309	1287	1329	1444	1533	1631	1760	1939	2212	2643	3222	3508	2951	2416	2076	1790	1665	1547	1499	1055	1349	1129	1161	1011	837	837	962	1010	
74	960	903	1009	960	1009	1159	1127	1159	1388	1365	1522	1576	1784	1928	2193	2617	3204	3519	2964	2428	2057	1801	1680	1514	1385	1267	1367	1129	1011	905	1055	756	649	841	
75	1053	960	1053	1009	1053	1009	960	1241	1287	1265	1510	1544	1722	1878	2188	2612	3183	3526	2987	2454	2094	1812	1632	1547	1487	1289	1267	1190	1011	962	1011	756	962	409	
76	960	1053	1009	1009	1053	960	1091	1216	1309	1365	1366	1622	1742	1912	2166	2596	3170	3529	2997	2459	2060	1857	1657	1558	1385	1401	1011	1243	1055	837	1011	1129	1055	1010	
77	961	754	498	1010	1092	1160	1242	1054	1309	1310	1487	1556	1755	1897	2146	2576	3144	3535	3018	2470	2087	1824	1642	1476	1535	1312	1244	1290	1056	1056	963	963	244	756	
78	242	836	961	1160	1217	1054	1128	1092	1366	1348	1499	1545	1730	1892	2142	2558	3131	3538	3036	2489	2077	184													

	A	B	C	D	E	F	G	H	I
1									
2	Δ (距離mm)	デジタル値	有効露光量	LSF (正規化)	外挿 LSF	外挿LSF FFT	外挿LSF FFT絶対値	MTF	空間周波数
3	0	967	0.19406759	0.001580522	0.00008	60.1286534329865	60.12865343	1	0
4	0.00516129	653	0.088518051	0.000720907	8.11923E-05	-56.6331497828061-10.7078146423872i	57.63654178	0.95855368	0.1953125
5	0.010322581	1165	0.31836754	0.002592844	8.24024E-05	48.8733946337643+19.0964806667877i	52.47174742	0.87265795	0.390625
6	0.015483871	965	0.193099674	0.001572639	8.36305E-05	-40.01316515108-24.998443128805i	47.18026224	0.78465523	0.5859375
7	0.020645161	757	0.114801724	0.000934966	8.48769E-05	31.0281794149598+28.6041756301296i	42.20126516	0.7018495	0.78125
8	0.025806452	1057	0.24303525	0.001979734	8.61419E-05	23.782468440111-30.0780775546759i	37.49220008	0.62353301	0.9765625
9	0.030967742	1057	0.24303525	0.001979734	8.74137E-05	15.99662i	33.02080426	0.5491692	1.171875
10	0.036129032	246	0.03199905	0.00011055	8.86809E-05	880098i	28.8583674	0.47994368	1.3671875
11	0.041290323	1015	0.21881055	0.000830673	8.99635E-05	04835i	25.06084307	0.41678703	1.5625
12	0.046451613	1097	0.26859545	0.0011055	9.12460E-05	045605i	21.68117279	0.36057972	1.7578125
13	0.051612903	1271	0.41497011	0.001572639	9.25286E-05	0635335i	18.71900832	0.31131594	1.953125
14	0.056774194	503	0.060837508	0.000493472	9.38113E-05	7.37231388041884+14.378961920502i	16.15879195	0.26873697	2.1484375
15	0.061935484	1058	0.2436436	0.001984278	9.50940E-05	-8.54548872443188+11.0321130197487i	13.95467288	0.23208025	2.34375
16	0.067096774	907	0.167035523	0.001360368	9.63767E-05	9.01358220637524-8.01773728992845i	12.0635308	0.20062865	2.5390625
17	0.072258065	1219	0.36438336	0.002967605	9.76594E-05	04659	0.1735736	2.734375	
18	0.077419355	756	0.14515078	0.000830673	9.89421E-05	06575	0.15028536	2.9296875	
19	0.082580645	1012	0.217175656	0.001768719	0.000104408	03523	0.13019739	3.125	
20	0.087741935	1058	0.2436436	0.001984278	0.000102878	6.78883i		25	
21	0.092903225	757	0.114801724	0.000934966	0.000101408	5.7317i		25	
330	1.687741935	1775	1.462944554	0.01191449	0.01009304	-0.05500		75	
331	1.692903226	1739	1.33703065	0.010889024	0.010243464	0.05193		25	
332	1.698064516	1726	1.294275686	0.010540819	0.010396131	-0.04209		25	
333	1.703225806	1739	1.33703065	0.010889024	0.010551072	0.03531		75	
334	1.708387097	1746	1.360634619	0.011081259	0.010708323	-0.03159		25	
335	1.713548387	1732	1.313836158	0.010700123	0.010867917	0.02743		75	
336	1.718709677	1757	1.39857131	0.011390222	0.01102989	-0.01984		25	
337	1.723870968	1689	1.179925408	0.00960953	0.011194278	0.01045		75	
338	1.729032258	1737	1.330362182	0.010834714	0.011361115	-0.00314		25	
339	1.734193548	1762	1.416163171	0.011533493	0.011533493	0.00056		75	
340	1.739354839	1775	1.462944554	0.01191449	0.01191449	-0.00072		25	
341	1.744516129	1763	1.419708008	0.011562363	0.011562363	-0.00029		75	
342	1.749677419	1814	1.612766815	0.01313467	0.01313467	0.00465		25	
343	1.75483871	1792	1.526459837	0.01243177	0.01243177	-0.01122		75	
344	1.76	1749	1.370877742	0.011164681	0.011164681	0.01621		25	
345	1.76516129	1819	1.633052924	0.013299884	0.013299884	-0.01862		75	
346	1.770322581	1808	1.588755845	0.01293912	0.01293912	0.0215104352157304-0.019064602980990i	0.028742963	0.00047802	66.9921875
347	1.775483871	1801	1.561194483	0.012714655	0.012714655	-0.0282667857593252+0.02083463856856i	0.035174853	0.00058499	67.1875

サンプリング間隔(mm)
 $160 \div 31 = 0.00516129$

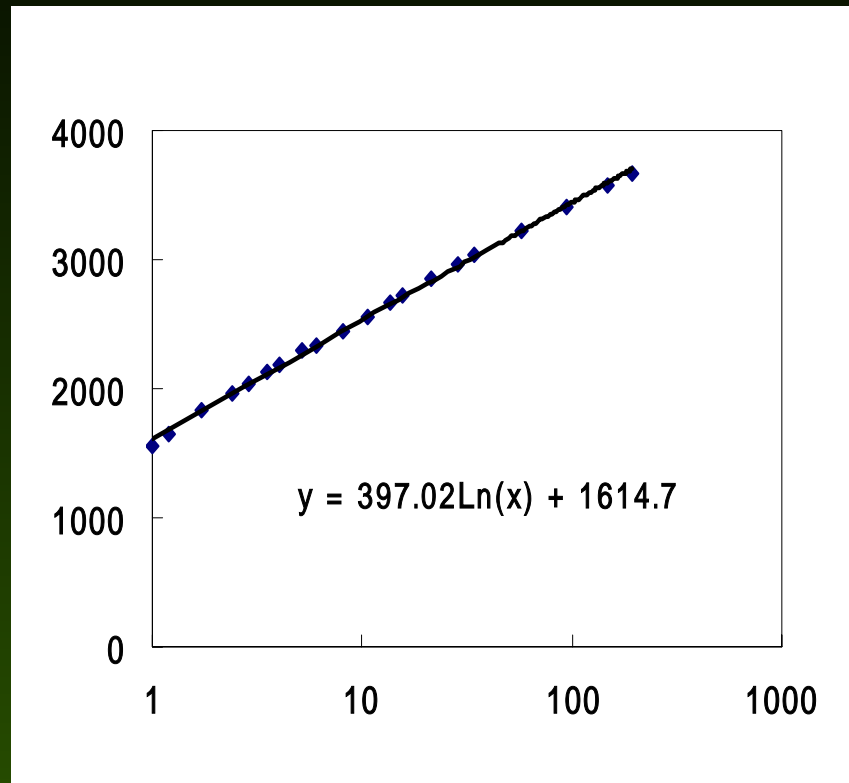
合成スリットデジタル値



高速フーリエ変換によるMTF計算過程のワークシート

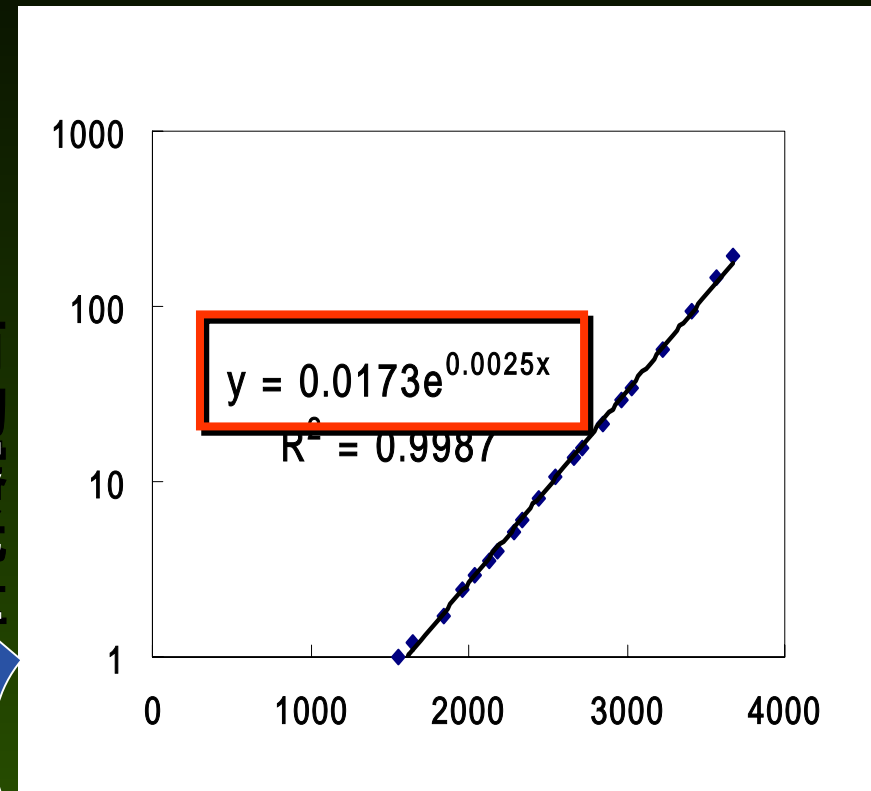
露光量変換のために・・・

デジタル値



有効露光量

有効露光量



デジタル値

縦、横軸の項目を変換

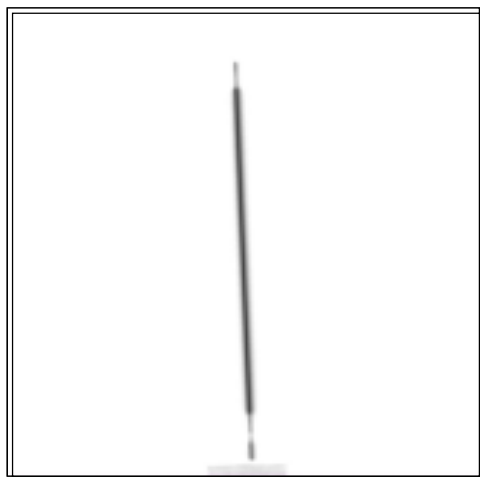
	A	B	C	D	E	F	G	H	I
1									
2	x (距離mm)	デジタル値	有効露光量	LSF (正規化)	外挿 LSF	外挿 LSF FFT	外挿 LSF FFT絶対値	MTF	空間周波数
3	0	967	0.19406759	0.001580522	0.00008	60.1286534329665	60.12865343	1	0
4	0.00516129	653	0.088518051	0.000720907	8.11923E-05	-56.6331497828061-10.7078146423872i	57.63654178	0.95855368	0.1953125
5	0.010322581	1165	0.31836754	0.002592844	8.24024E-05	48.8733946337643+19.0964806667877i	52.47174742	0.87265795	0.390625
6	0.015483871	965	0.193099674	0.001572639	8.36305E-05	-40.01318515108-24.998443128805i	47.18026224	0.78465523	0.5859375
7	0.020645161	757	0.114801724	0.000934966	8.48769E-05				0.78125
8	0.025806452	1057	0.243035252	0.001979324	8.61419E-05				0.9765625
9	0.030967742	1057	0.243035252	0.001979324	8.74257E-05				1.171875
10	0.036129032	246	0.031999059						1.3671875
11	0.041290323	1015	0.218810597	0.001782034	9.00511E-05				1.5625
12	0.046451613	1097	0.268595492	0.002187491	9.13932E-05				1.7578125
13	0.051612903	1271	0.414970113	0.003379593	9.27553E-05				1.953125
14	0.056774194	503	0.060837508	0.000495472	9.41377E-05	7.37231365041884-14.3789967920502i	16.15879195	0.26873697	2.1484375
15	0.061935484	1058	0.2436436	0.001984278	9.55407E-05	-8.54548872443188+11.0321130197487i	13.95467288	0.23208025	2.34375
16	0.067096774	907	0.167035523	0.001360368	9.69646E-05	9.01358220637524-8.01773728992845i	12.0635308	0.20062865	2.5390625
17	0.072258065	1219	0.36438336	0.002967605	9.84098E-05	-8.93888183790325+5.38721364721847i	10.43674659	0.1735736	2.734375
18	0.077419355	756	0.114515078	0.000932632	9.98764E-05	8.46315431812571-3.16742267673512i	9.036456575	0.15028536	2.9296875
19	0.082580645	1012	0.217175656	0.001768719	0.000101365	-7.71137674163593+1.34964635933689i	7.828593523	0.13019739	3.125
20	0.087741935	1058	0.2436436	0.001984278	0.000102876	6.78583024886539+0.0820787868859564i	6.786326627	0.11286344	3.3203125
21	0.092903226	533	0.114891734	0.000934966	0.000104408				3.515625
482	2.472258	3538	120.05515	0.97775124	0.97775124	-0.167			
483	2.477419	3547	122.787009	1	1	0.151			
484	2.482581	3545	122.174607	0.99501248	0.99501248	0.456			
330	1.687741935	1775	1.462944554	0.01191449	0.01009304	-0.167			63.8671875
331	1.692903226	1739	1.33703065	0.010889024	0.010243464	0.0			64.0625
332	1.698064516	1726	1.294275686	0.010540819	0.010396131	-0.167			64.2578125
333	1.703225806	1739	1.33703065	0.010889024	0.010551072	0.0353148423950898-0.012418708047252i	0.037434775	0.00062258	64.453125
334	1.708387097	1746	1.360634619	0.011081259	0.010708323	-0.0315932667546264+0.00675683411909i	0.032307728	0.00053731	64.6484375
335	1.713548387	1732	1.313836158	0.010700123	0.010867917	0.0274331366692502+0.006637462851686i	0.028224686	0.0004694	64.84375
336	1.718709677	1757	1.39857131	0.011390222	0.01102989	-0.0198424249281888-0.02172333333500i	0.029421506	0.00048931	65.0390625
337	1.723870968	1689	1.179925408	0.00960953	0.011194278	0.0104579494541485+0.031028879749347i	0.032743856	0.00054456	65.234375
338	1.729032258	1737	1.330362182	0.010834714	0.011361115	-0.00314759894660864-0.0319129947039i	0.032067844	0.00053332	65.4296875
339	1.734193548	1762	1.416163171	0.011533493	0.011533493	0.000563790818395258+0.0273594945684i	0.027365303	0.00045511	65.625
340	1.739354839	1775	1.462944554	0.01191449	0.01191449	-0.000721868785569022-0.022826687760i	0.022838099	0.00037982	65.8203125
341	1.744516129	1763	1.419708008	0.011562363	0.011562363	-0.000256555754749515+0.020929992761i	0.020931565	0.00034811	66.015625
342	1.749677419	1814	1.612766815	0.01313467	0.01313467	0.00465972237012829-0.02065776035236i	0.021221686	0.00035294	66.2109375
343	1.75483871	1792	1.526459837	0.01243177	0.01243177	-0.0112218493262047+0.01959051837743i	0.022576942	0.00037548	66.40625
344	1.76	1749	1.370877742	0.011164681	0.011164681	0.0162136736888543-0.017749692872322i	0.024040275	0.00039981	66.6015625
345	1.76516129	1819	1.633052924	0.013299884	0.013299884	-0.0186237741724153+0.01713619465975i	0.025307986	0.0004209	66.796875
346	1.770322581	1808	1.588755845	0.01293912	0.01293912	0.0215104352157304-0.019064602980990i	0.028742963	0.00047802	66.9921875
347	1.775483871	1801	1.561194483	0.012714655	0.012714655	-0.0282667857583252+0.02053463856856i	0.035174853	0.00058499	67.1875

露光量変換
 $=0.0173 * \text{EXP}(0.0025 * B3)$

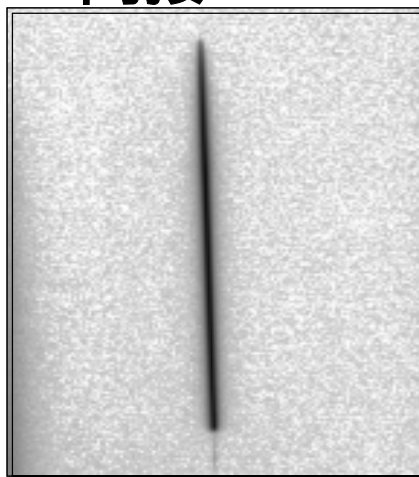
合成したスリットの正規化
(合成LSF) $=C3 / \$C\483

高速フーリエ変換によるMTF計算過程のワークシート

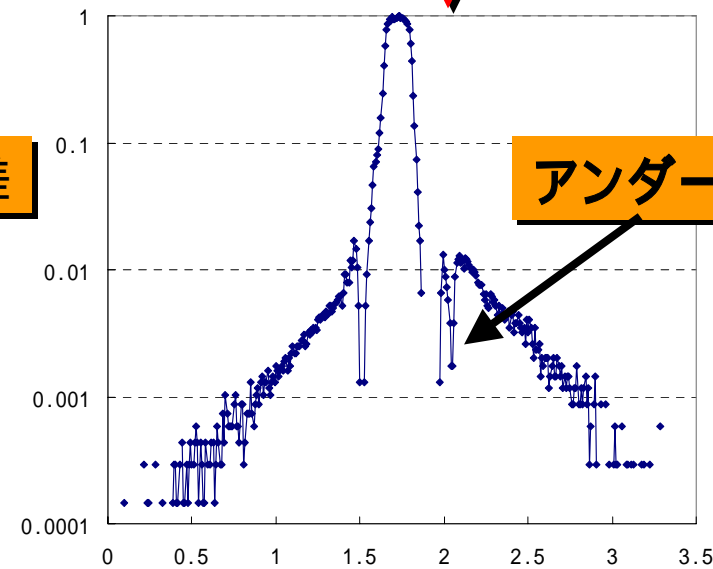
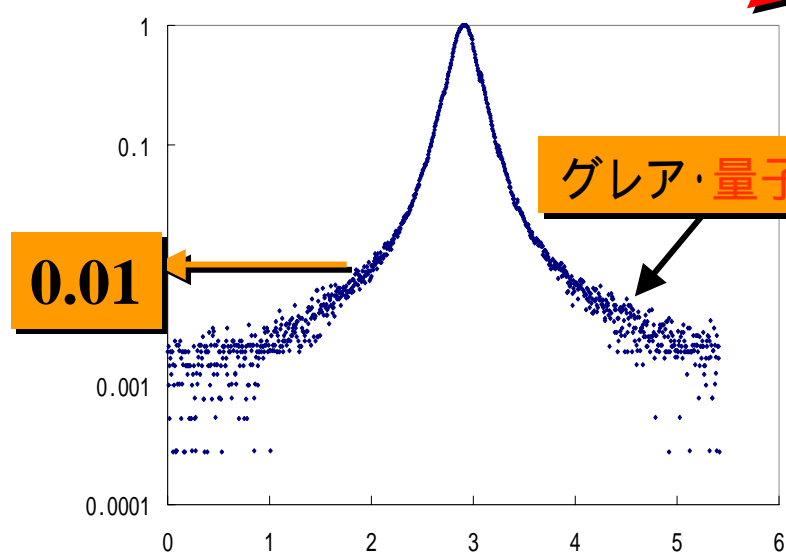
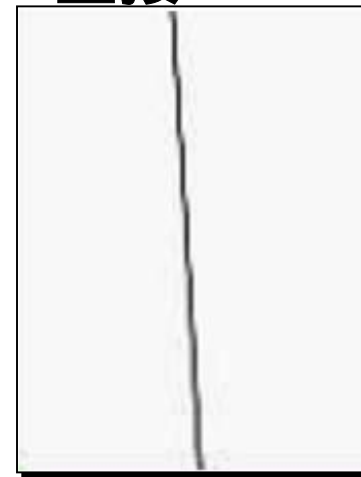
CR



間接FPD



直接FPD



距離(mm)

トランケーションエラー (裁断エラー)

外挿 & 倍数露光法

トランケーションエラー

線像強度分布 (LSF) は無限の広がりを持つと考えられるが、実験上の制約で有限の範囲までしか求まらず、LSFの裾野部分が欠如している。

裾野が大きく欠如したLSFをフーリエ変換すると、振動したMTFが計算される。このような誤差をトランケーションエラーという。

光学伝達関数OTF(u)は、線像強度分布(LSF)のフーリエ変換と定義され次式となる。

$$OTF(u) = \int_{-\infty}^{\infty} LSF(x) e^{-i2\pi ux} dx$$

また、上式は、オイラーの公式より

$$A_1 - iA_2 = |OTF(u)| e^{-i\delta u}$$

$$A_1 = \int_{-\infty}^{\infty} LSF(x) \cos 2\pi ux dx$$

$$A_2 = \int_{-\infty}^{\infty} LSF(x) \sin 2\pi ux dx$$

となり、MTFはOTF(LSFのフーリエ変換)の絶対値であるため

$$MTF(u) = |OTF(u)| = \sqrt{A_1^2 + A_2^2}$$

と定義される。

DFT (Discrete Fourier Transform: 離散フーリエ変換)

$$OTF(u) = \frac{1}{N} \sum_{n=0}^{N-1} LSF(n) e^{-inu (2\pi / N)}$$

$$a_n = \frac{1}{N} \sum_{n=0}^{N-1} LSF(n) \cos(2\pi un / N)$$

$$b_n = \frac{1}{N} \sum_{n=0}^{N-1} LSF(n) \sin(2\pi un / N)$$

$$MTF(u) = |OTF(u)| = \sqrt{a_n^2 + b_n^2}$$

	A	B	C	D	E	F	G	H	I	J
1										
2	x (距離mm)	デジタル値	有効露光量	LSF (正規化)	外層LSF	DFT(COS)	DFT(SIN)	周波数	Σ (COS)	Σ (SIN)
3	0	967	0.19406759	0.00158052	0.000002	0.000002	0	10	-0.127299018	0.02938841
4	0.005161	653	0.08851805	0.00072091	2.0392E-05	1.93286E-05	6.49754E-06	SQRT(cos2X+sin2X)	0.130647306	
5	0.010323	1165	0.31836754	0.00259284	2.0791E-05	1.65689E-05	1.25588E-05			
6	0.015484	965	0.19309967	0.00157264	2.1198E-05	1.19326E-05	1.75201E-05	周波数	MTF	MTF正規化
7	0.020645	757	0.11480172	0.00093497	2.1613E-05	5.8402E-06	2.08086E-05	0	60.07040383	1
8	0.025806	1057	0.24303525	0.00197932	2.2036E-05	-1.11609E-06	2.20075E-05	0.5	49.0141983	0.815945876
9	0.030968	1057	0.24303525	0.00197932	2.2467E-05	-8.22835E-06	2.09061E-05	1	36.21182926	0.602823137
10	0.036129	246	0.03199906	0.00026061	2.2907E-05	-1.47441E-05	1.75311E-05	1.5	25.32313834	0.421557651
11	0.04129	1015	0.2188106	0.00178203	2.3355E-05	-1.99446E-05	1.21527E-05	2	17.19098503	0.286180614
12	0.046452	1097	0.26859549	0.00218749	2.3813E-05	-2.32232E-05	5.26518E-06	2.5	11.72538693	0.195194075
13	0.051613	1271	0.41497011	0.00337959	2.4279E-05	-2.41542E-05	-2.45624E-06	3	7.968770584	0.132657184
14	0.056774	503	0.06083751	0.00049547	2.4754E-05	-2.25454E-05	-1.02209E-05	3.5	5.497840598	0.091523283
15	0.061935	1058	0.2436436	0.00198428	2.5239E-05	-1.8468E-05	-1.72023E-05	4	3.79674957	0.063204995
16	0.067097	907	0.16703552	0.00136037	2.5733E-05	-1.22595E-05	-2.26247E-05	4.5	2.613802657	0.04351232
17	0.072258	1219	0.36438336	0.00296761	2.6236E-05	-4.4977E-06	-2.5848E-05	5	1.807581571	0.030091051
18	0.077419	756	0.11451508	0.00093263	2.675E-05	4.05069E-06	-2.64415E-05	5.5	1.135615265	0.018904738
19	0.082581	1012	0.21717566	0.00176872	2.7274E-05	1.2505E-05	-2.4238E-05	6	0.656122622	0.010922561
20	0.087742	1058	0.2436436	0.00198428	2.7808E-05	1.99595E-05	-1.93618E-05	6.5	0.316398485	0.005267128
21	0.092903	757	0.11480172	0.00093497	2.8352E-05	2.55797E-05	-1.22274E-05	7	0.070246007	0.001169395
22	0.098065	1013	0.21771927	0.00177315	2.8907E-05	2.86935E-05	-3.50672E-06	7.5	0.047117587	0.000784373
23	0.103226	839	0.14092199	0.00114769	2.9473E-05	2.88695E-05	5.93284E-06	8	0.120475113	0.002005565
24	0.108387	1055	0.24182311	0.00196945	3.005E-05	2.5973E-05	1.51127E-05	8.5	0.123447767	0.002055051
25	0.113548	964	0.19261753	0.00156871	3.0638E-05	2.01913E-05	2.30434E-05	9	0.118381823	0.001970718
26	0.11871	1056	0.24242842	0.00197438	3.1238E-05	1.20273E-05	2.88296E-05	9.5	0.152785231	0.002543436
27	0.123871	1055	0.24182311	0.00196945	3.1849E-05	2.25747E-06	3.17692E-05	10	0.130647306	0.002174903
28	0.129032	962	0.19165684	0.00156089	3.2473E-05	-8.13939E-06	3.14362E-05			
29	0.134194	837	0.14021914	0.00114197	3.3109E-05	-1.80791E-05	2.77366E-05			
30	0.139355	755	0.11422915	0.0009303	3.3757E-05	-2.64832E-05	2.09321E-05			
31	0.144516	755	0.11422915	0.0009303	3.4417E-05	-3.23945E-05	1.16257E-05			
32	0.149677	1129	0.29096602	0.00236968	3.5091E-05	-3.5084E-05	7.11192E-07			
460	2.461935	3529	117.384072	0.95599748	0.95599748	-0.699539262	-0.651594971			
461	2.467097	3535	119.158105	0.97044553	0.97044553	-0.462336184	-0.853234895			
462	2.472258	3538	120.05515	0.97775124	0.97775124	-0.167615811	-0.963276918			
463	2.477419	3547	122.787009	1	1	0.151427778	-0.988468324			
464	2.482581	3545	122.174607	0.99501248	0.99501248	0.456212682	-0.884262304			
465	2.487742	3541	120.958949	0.98511194	0.98511194	0.707087324	-0.68591038			
959	4.934194	1053	0.24061701	0.00195963	7.1189E-05	-3.88733E-05	5.96388E-05			
960	4.939355	1009	0.21555293	0.0017555	7.009E-05	-5.49882E-05	4.34623E-05			
961	4.944516	498	0.06008177	0.00048932	6.9008E-05	-6.49524E-05	2.331E-05			
962	4.949677	961	0.1911783	0.00155699	6.7943E-05	-6.79293E-05	1.377E-06			
963										

離散フーリエ変換によるMTF計算過程のワークシート

フーリエ変換の式

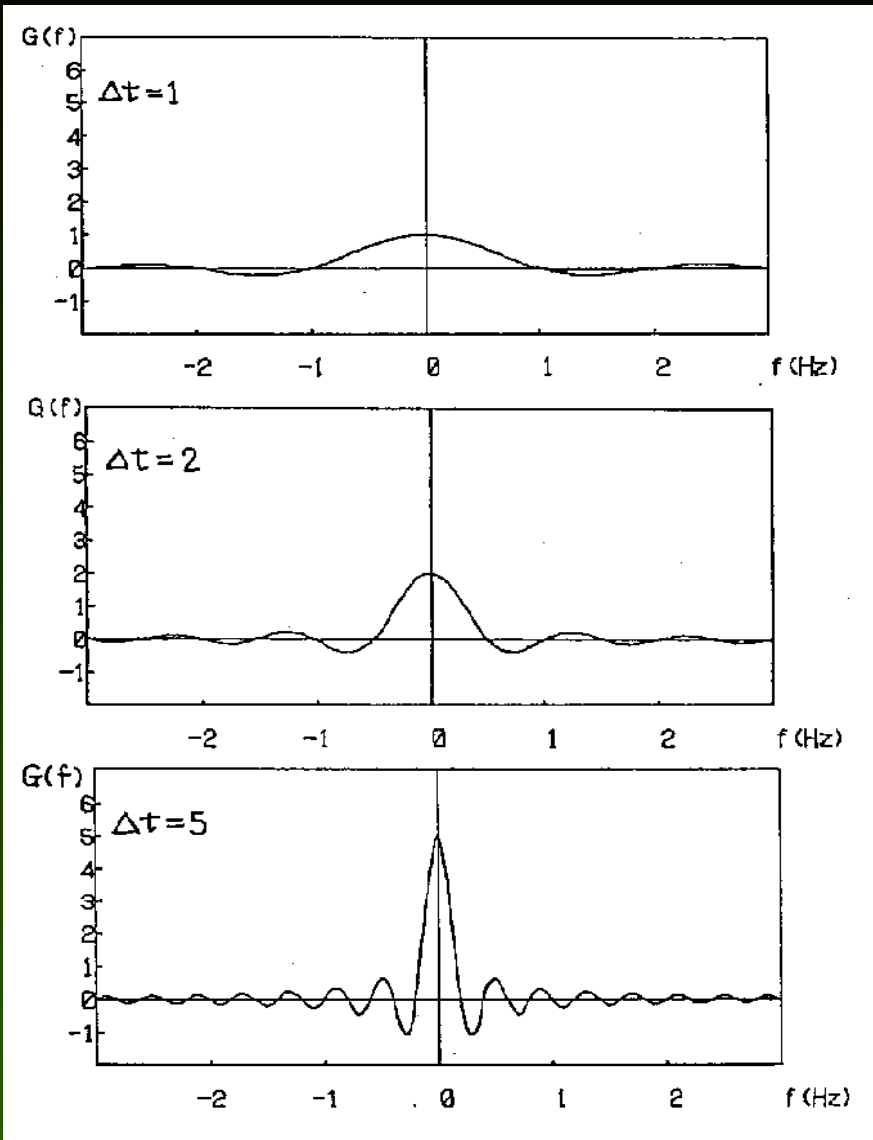
どんな複雑な波でも(周期がなくても)
単純な波に分解できる。

見る時間(距離)によってそれがどのくらい確
か、かという不確定さまで含み込んでいる

全部わからなくても一部分だけ見れば全体の形を
捉えることができる

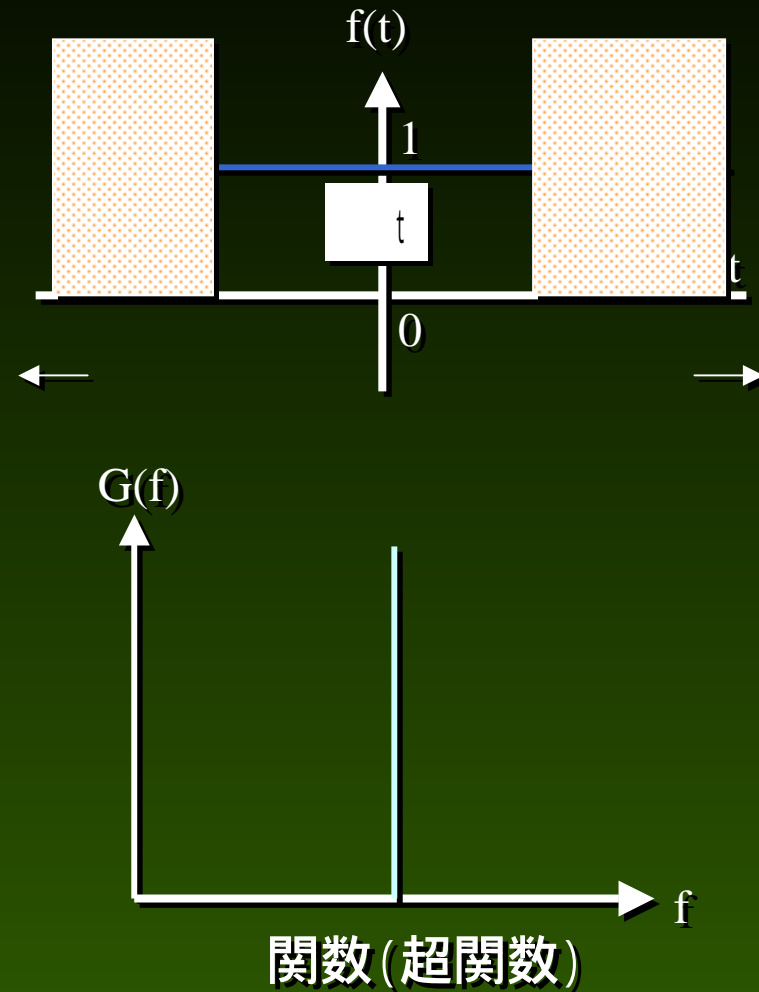


人間の捉え方と非常によく似ている。



フーリエの冒険より

その中の一部だけ見て全体の特徴を知る。



背の高度はその周波数が含まれている自信の度合いを表している。

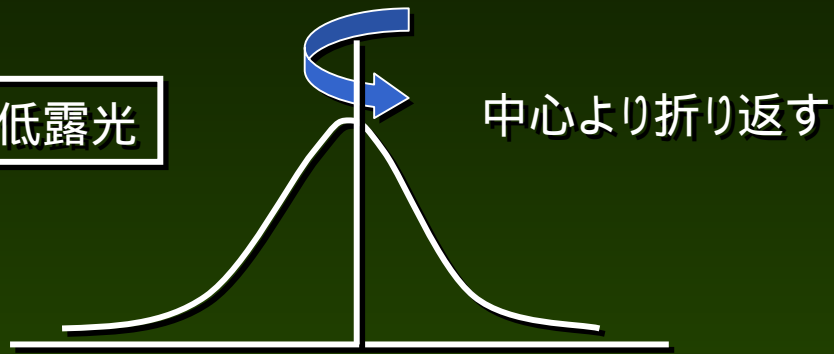
アナログにおける倍数露光と外挿

- ・ 増感紙 - フィルム系においてスリットのMTFを求める場合は、**トランケーションエラー**を起こさないように、**倍数露光法**を用いて低露光部と、高露光部のLSFを結合し、また**指数関数で外挿**を行ってきた。
- ・ この理由は**増感紙 - フィルム系のもつダイナミックレンジが狭いこと**、特性曲線の足の部分(ベース濃度 + カブリ)により**低濃度部の露光量変換に信頼性がない**ためである。

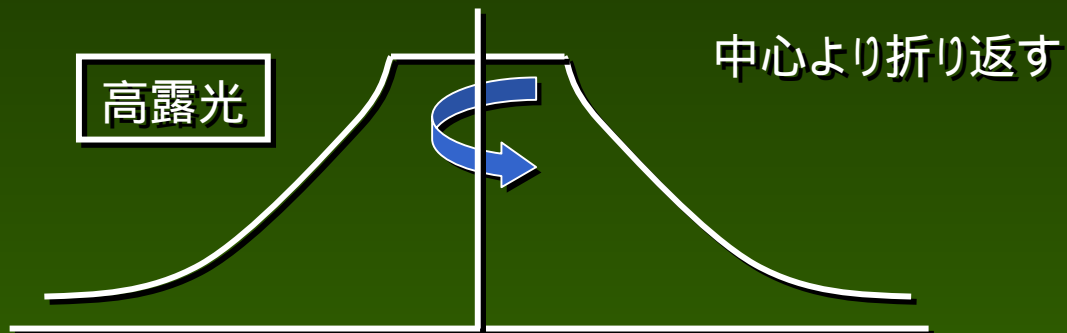
高露光部は低露光部の5倍露光をおこなう

左右対称

低露光



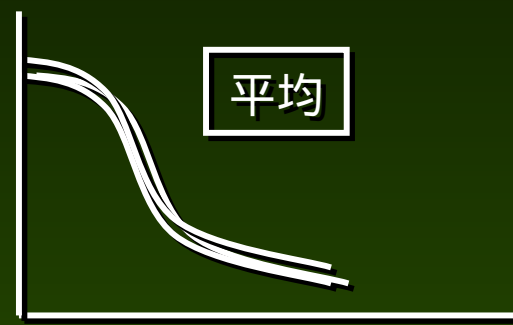
高露光



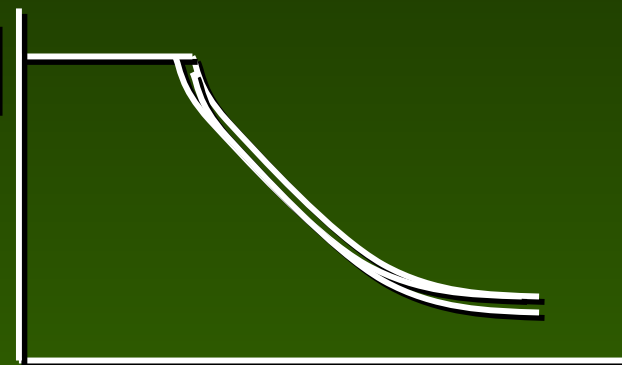
$$\int_0^{\infty} LSF(x) \cos 2\pi u x dx$$

D

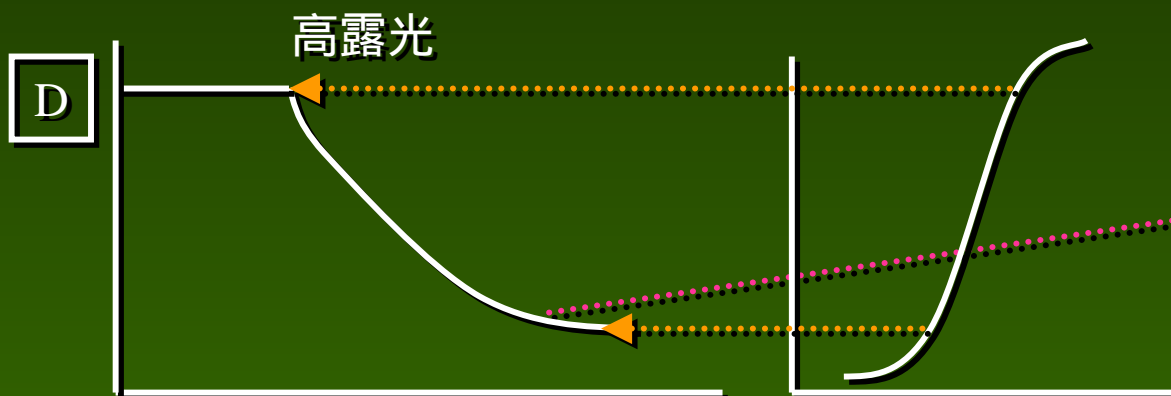
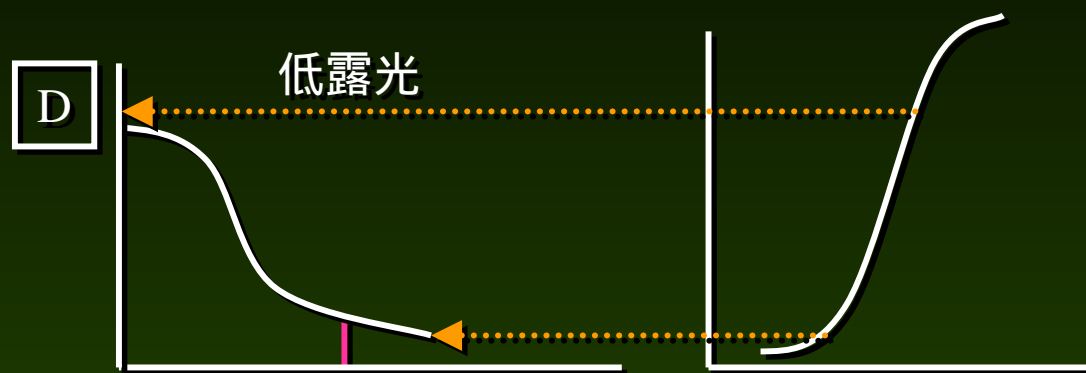
平均



D



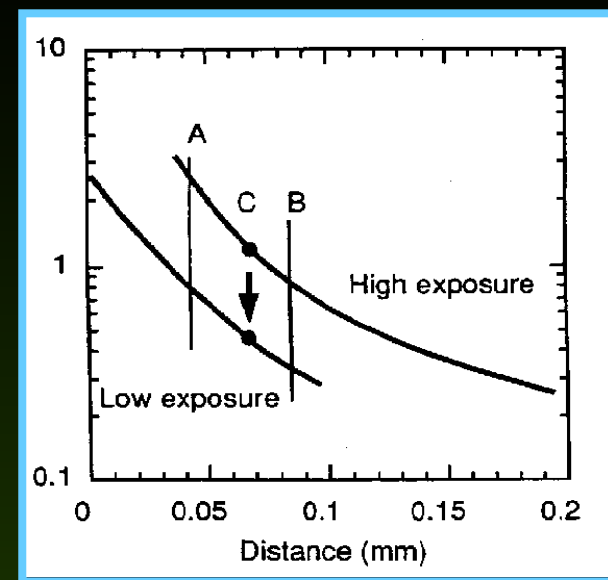
濃度を露光量に変換してLSFを作成



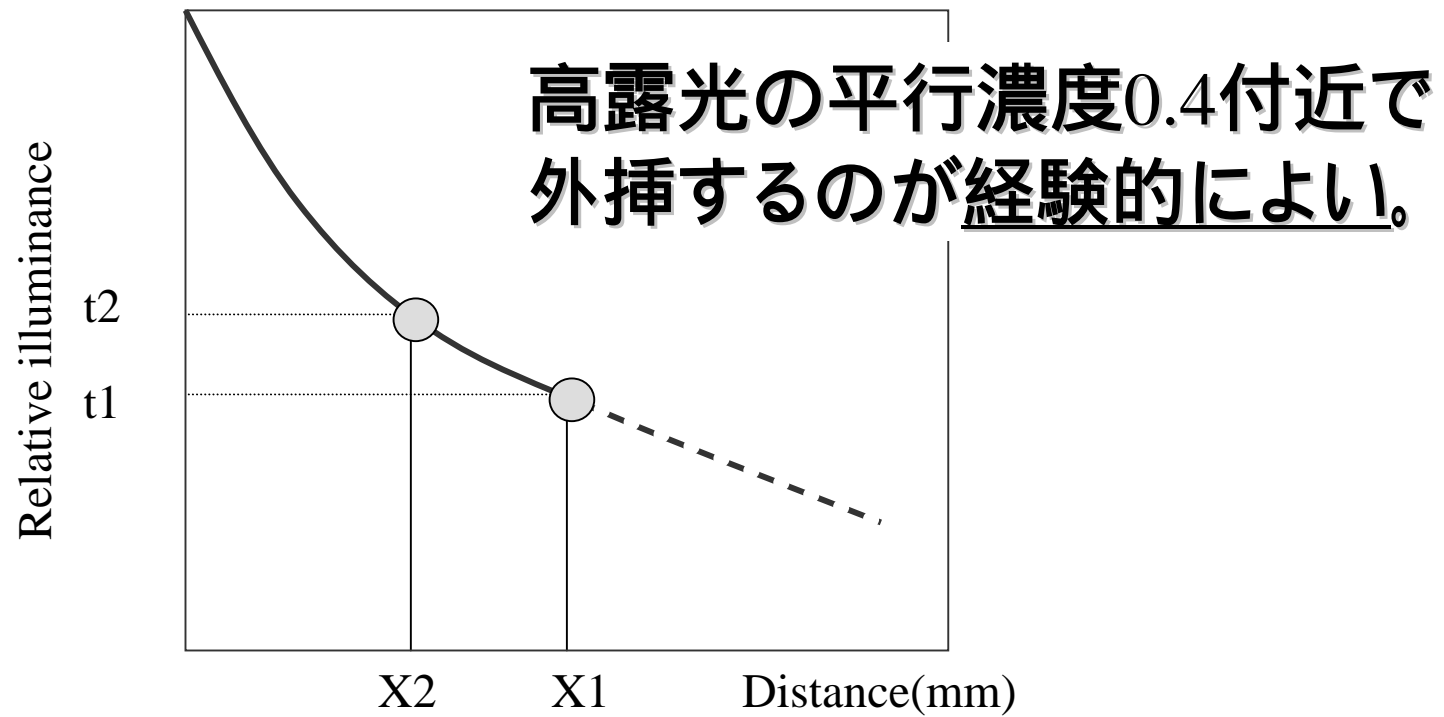
RE
Log

結合

距離mm



外挿



Extrapolation of line spread function

経験って…？

外挿の違いによるMTFの変化

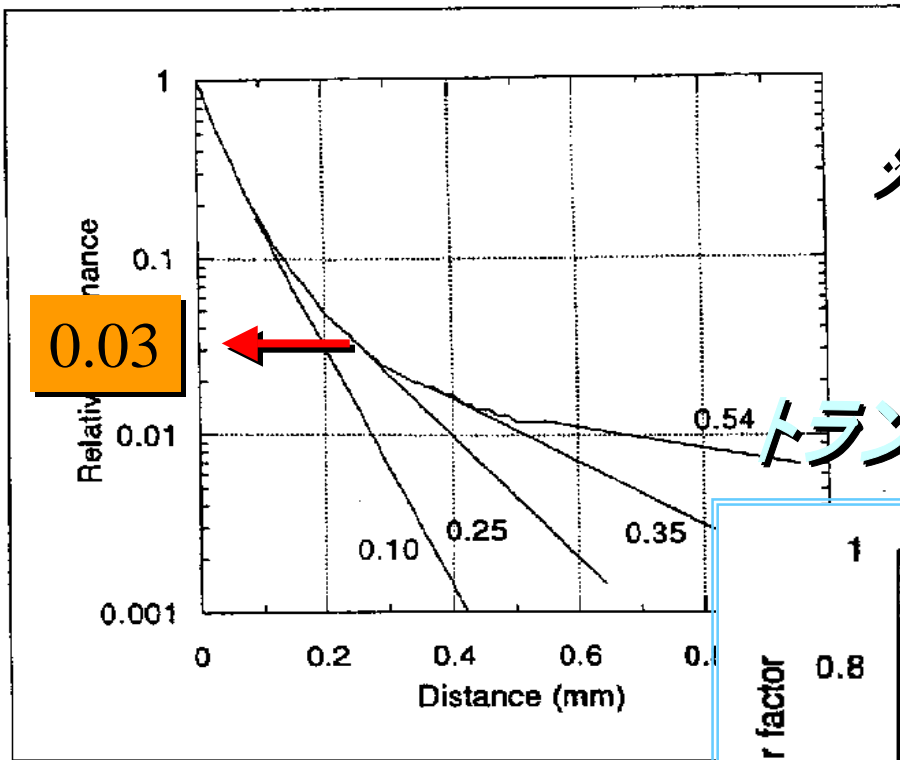
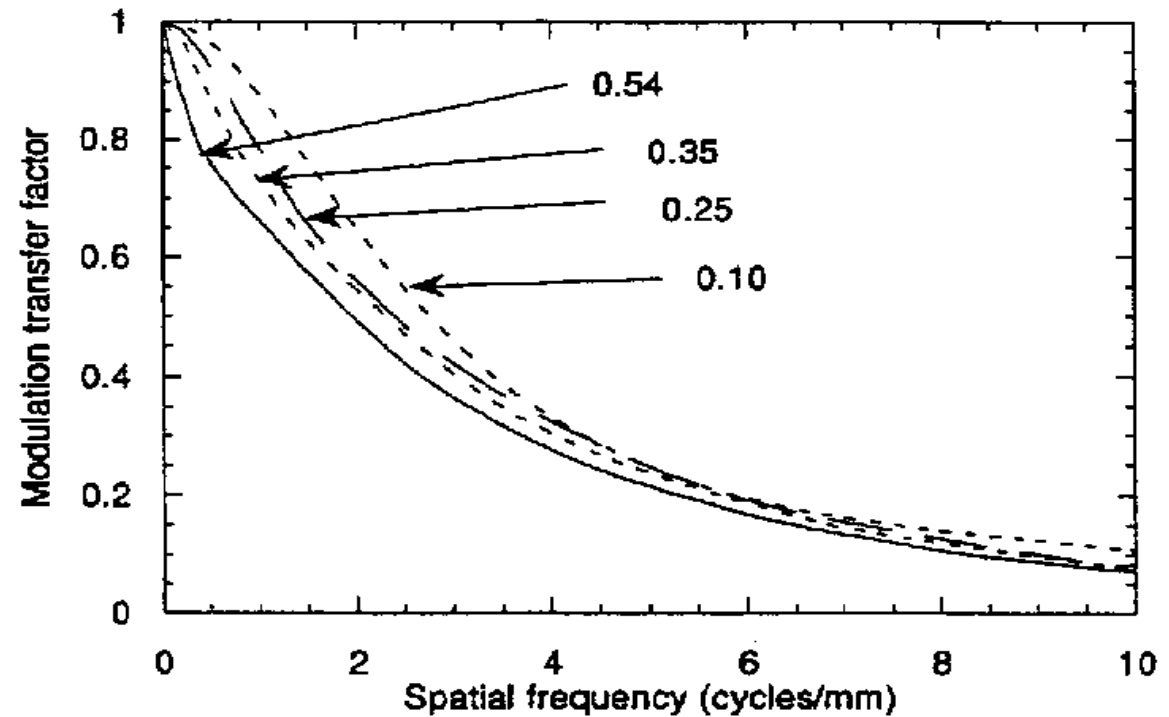


Fig. 9 Comparison of LSFs at different extrapolation methods

トランケーション(裁断)エラー



日本放射線技術学会誌より

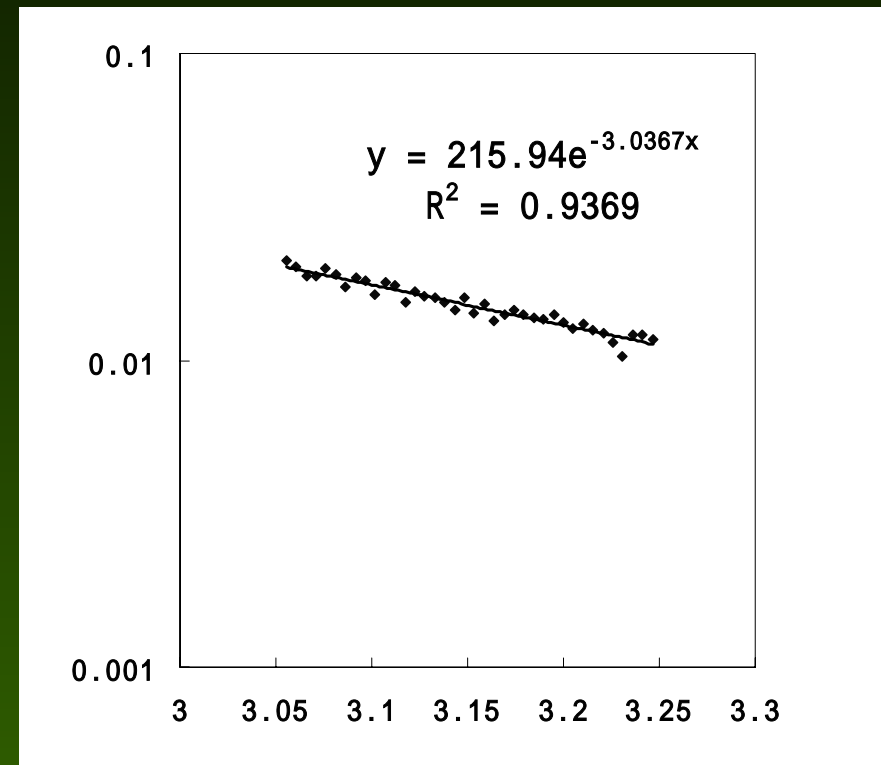
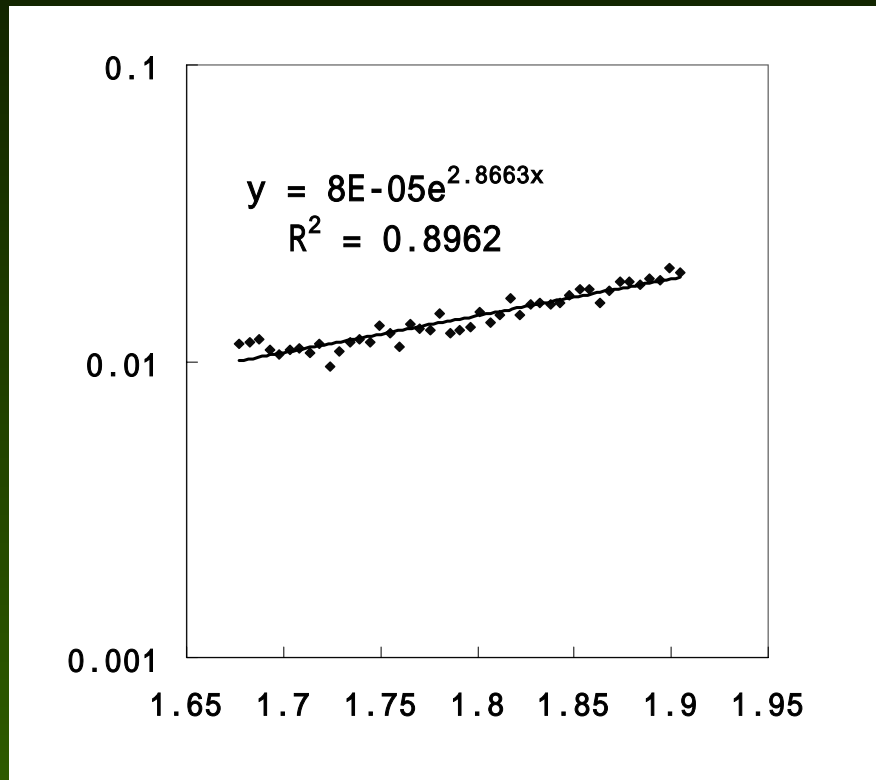
デジタルの外挿

- デジタルの場合も低露光部は量子化の誤差やグレアの影響もあり、外挿を行う方が望ましい？

左裾

右裾

LSF 値



距離(mm)

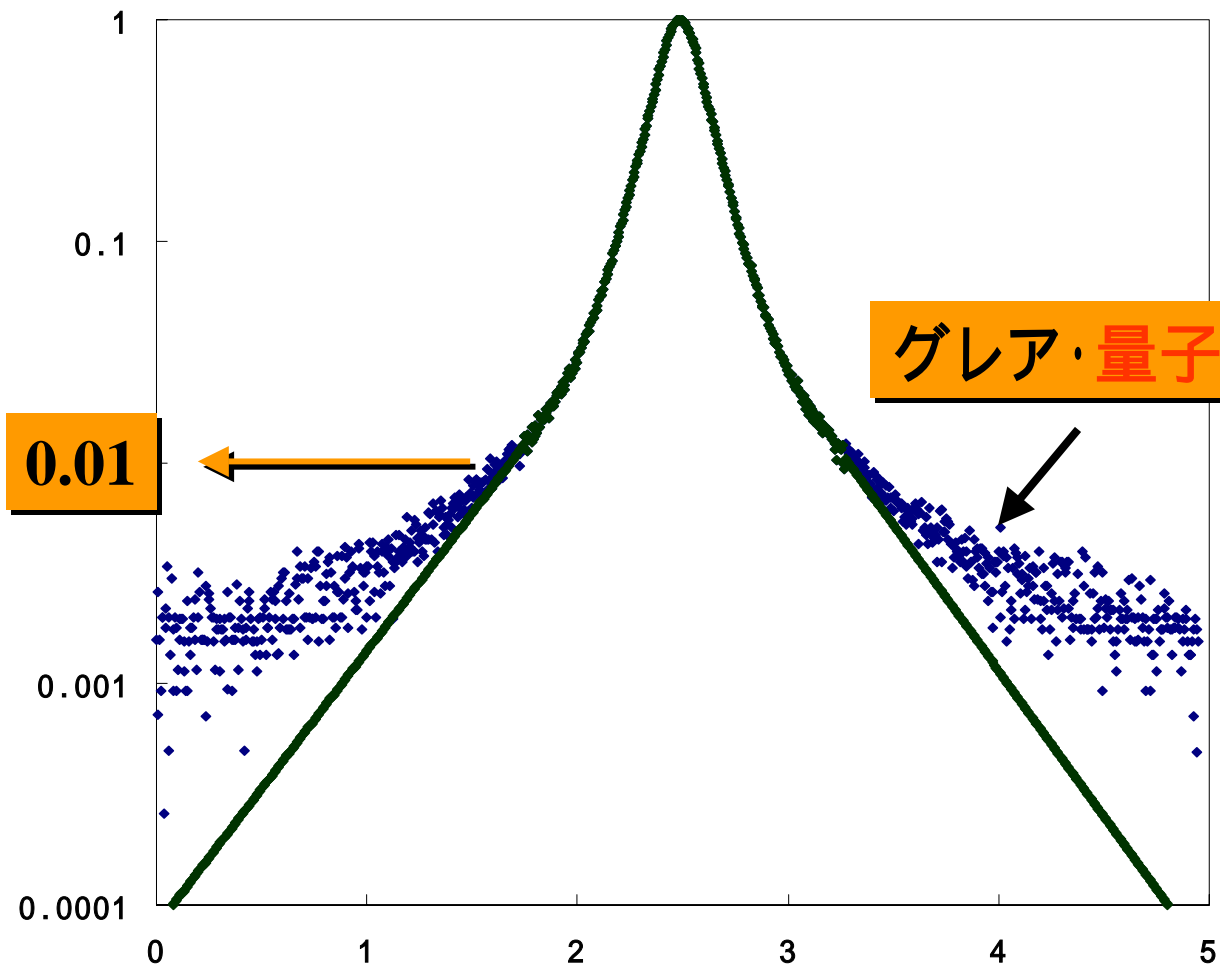
距離(mm)

FPD HD&MTF(INNER)									
	A	B	C	D	E	F	G	H	I
1	x (距離mm)	デジタル値	有効露光量	LSF (正規化)	外挿 LSF	外挿LSF FFT	外挿LSF FFT絶対値	MTF	空間周波数
2	0	967	0.19406759	0.001580522	0.00008	60.1286534329665	60.12865343	1	0
3	0.00516129	653	0.088518051	0.000720907	8.11923E-05	-56.6331497828061-10.7078146423872i	57.63654178	0.95855368	0.1953125
4	0.010322581	1165	0.31836754	0.002592844	8.24024E-05	48.8733946337643+19.0964806667877i	52.47174742	0.87265795	0.390625
5	0.015483871	965	0.193099674	0.001572639	8.36305E-05	-40.01316515108-24.998443128805i	47.18026224	0.78465523	0.5859375
6	0.020645161	757	0.114801724	0.000934966	8.48769E-05	31.0281794149598+28.6041756301296i	42.20126516	0.7018495	0.78125
7	0.025806452	1057	0.243035252	0.001979324	8.61419E-05	-22.3824609440111-30.0780735546759i	37.49220008	0.62353301	0.9765625
8	0.030967742	1057	0.243035252	0.001979324	8.74257E-05	14.4749272348702+29.679117159962i	33.02080426	0.5491692	1.171875
9	0.036129032	246	0.031999059	0.000260606	8.87287E-05	-7.64554935170776-27.8271619880098i	28.8583674	0.47994368	1.3671875
10	0.041290323	1015	0.218810597	0.001782034	9.00511E-05	2.06775595705012+24.975392704835i	25.06084307	0.41678703	1.5625
11	0.046451613	1097	0.268595492	0.002187491	9.13932E-05	2.22567343180345-21.5666323545605i	21.68117279	0.36057972	1.7578125
12	0.051612903	1271	0.414970113	0.003379593	9.27553E-05	-5.3239			
13	0.056774194	503	0.060837508	0.000495472	9.41377E-05	7.37231			
14	0.061935484	1058	0.2436436	0.001984278	9.55407E-05	-8.5454			
15	0.067096774	907	0.167035523	0.001360368	9.69646E-05	9.01358			
16	0.072258065	1219	0.36438336	0.002967605	9.84098E-05	-8.9368			
17	0.077419355	756	0.114515078	0.000932632	9.98764E-05	8.46315			
18	0.082580645	1012	0.217175656	0.001768719	0.000101365	-7.715			
19	0.087741935	1058	0.2436436	0.001984278	0.000102876	6.7813			
20	0.092903226	353	0.113891334	0.000934966	0.000104409	-5.2347			
462	2.472258	3538	120.05515	0.97775124	0.97775124	-0.67615811 -0.963276918			
463	2.477419	3547	122.787009	1	1	0.51427778 -0.988468324			
464	2.482581	3545	122.174607	0.99501248	0.99501248	0.456212682 -0.884262304			
330	1.687741935	1775	1.462944554	0.01191449	0.01009304	-0.0590086578883302+0.00607575604025i	0.059320625	0.00098656	63.8671875
331	1.692903226	1739	1.33703065	0.010889024	0.010243464	0.061937006127505-0.006065030421758i	0.052289929	0.00086963	64.0625
332	1.698064516	1726	1.294275686	0.010540819	0.010396131	-0.0420986208606332+0.01019799166761i	0.043316197	0.00072039	64.2578125
333	1.703225806	1739	1.33703065	0.010889024	0.010551072	0.0353148423950898-0.012418708047252i	0.037434775	0.00062258	64.453125
334	1.708387097	1746	1.360634619	0.011081259	0.010708323	-0.0315932667546264+0.00675683411909i	0.032307728	0.00053731	64.6484375
335	1.713548387	1732	1.313836158	0.010700123	0.010867917	0.0274331366692502+0.006637462851686i	0.028224686	0.0004694	64.84375
336	1.718709677	1757	1.39857131	0.011390222	0.01102989	-0.0198424249281888-0.02172333333500i	0.029421506	0.00048931	65.0390625
337	1.723870968	1689	1.179925408	0.00960953	0.011194278	0.0104579494541485+0.031028879749347i	0.032743856	0.00054456	65.234375
338	1.729032258	1737	1.330362182	0.010834714	0.011361115	-0.00314759894660864-0.0319129947039i	0.032067844	0.00053332	65.4296875
339	1.734193548	1762	1.416163171	0.011533493	0.011533493	0.000563798018395258+0.0273594945684i	0.027365303	0.00045511	65.625
340	1.739354839	1775	1.462944554	0.01191449	0.01191449	-0.000721868785569022-0.022826687760i	0.022838099	0.00037982	65.8203125
341	1.744516129	1763	1.419708008	0.011562363	0.011562363	-0.000256555754749515+0.020929992761i	0.020931565	0.00034811	66.015625
342	1.749677419	1814	1.612766815	0.01313467	0.01313467	0.00465972237012629-0.020657760355236i	0.021221686	0.00035294	66.2109375
343	1.75483871	1792	1.526459837	0.01243177	0.01243177	-0.0112218493262047+0.01959051837743i	0.022576942	0.00037548	66.40625
344	1.76	1749	1.370877742	0.011164681	0.011164681	0.0162136736888543-0.017749692872322i	0.024040275	0.00039981	66.6015625
345	1.76516129	1819	1.633052924	0.013299884	0.013299884	-0.0186237741724153+0.01713619465975i	0.025307986	0.0004209	66.796875
346	1.770322581	1808	1.588755845	0.01293912	0.01293912	0.0215104352157304-0.019064602980990i	0.028742963	0.00047802	66.9921875
347	1.775483871	1801	1.561194483	0.012714655	0.012714655	-0.0282667857583252+0.02083463856856i	0.035174853	0.00058499	67.1875

指数関数近似を用いた外挿
 $= 8 * 10^{(-5)} * EXP(2.8663 * A^3)$
 $= 215.94 * EXP(-3.0367 * A^6/37)$

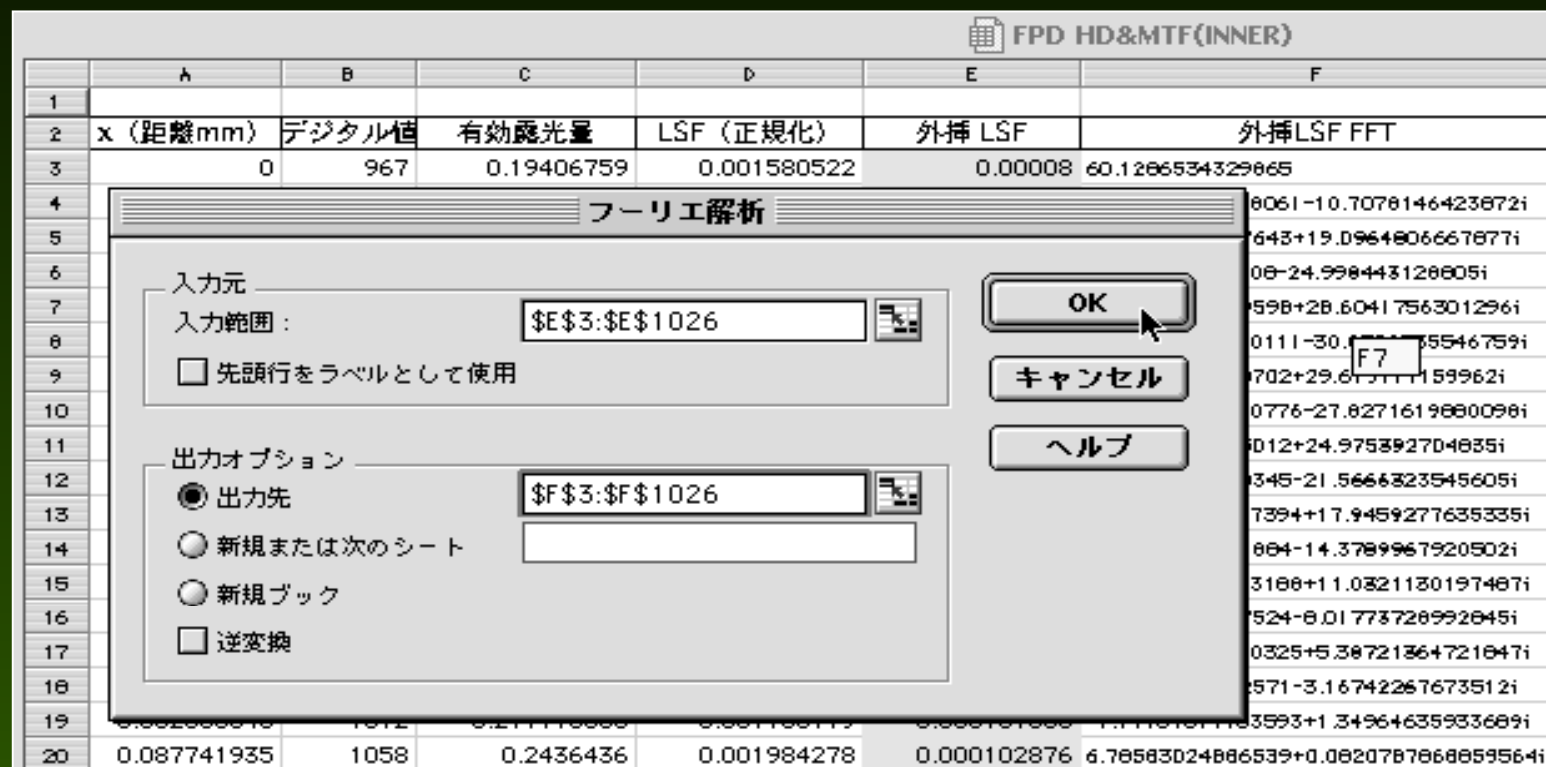
高速フーリエ変換によるMTF計算過程のワークシート

LSF 値



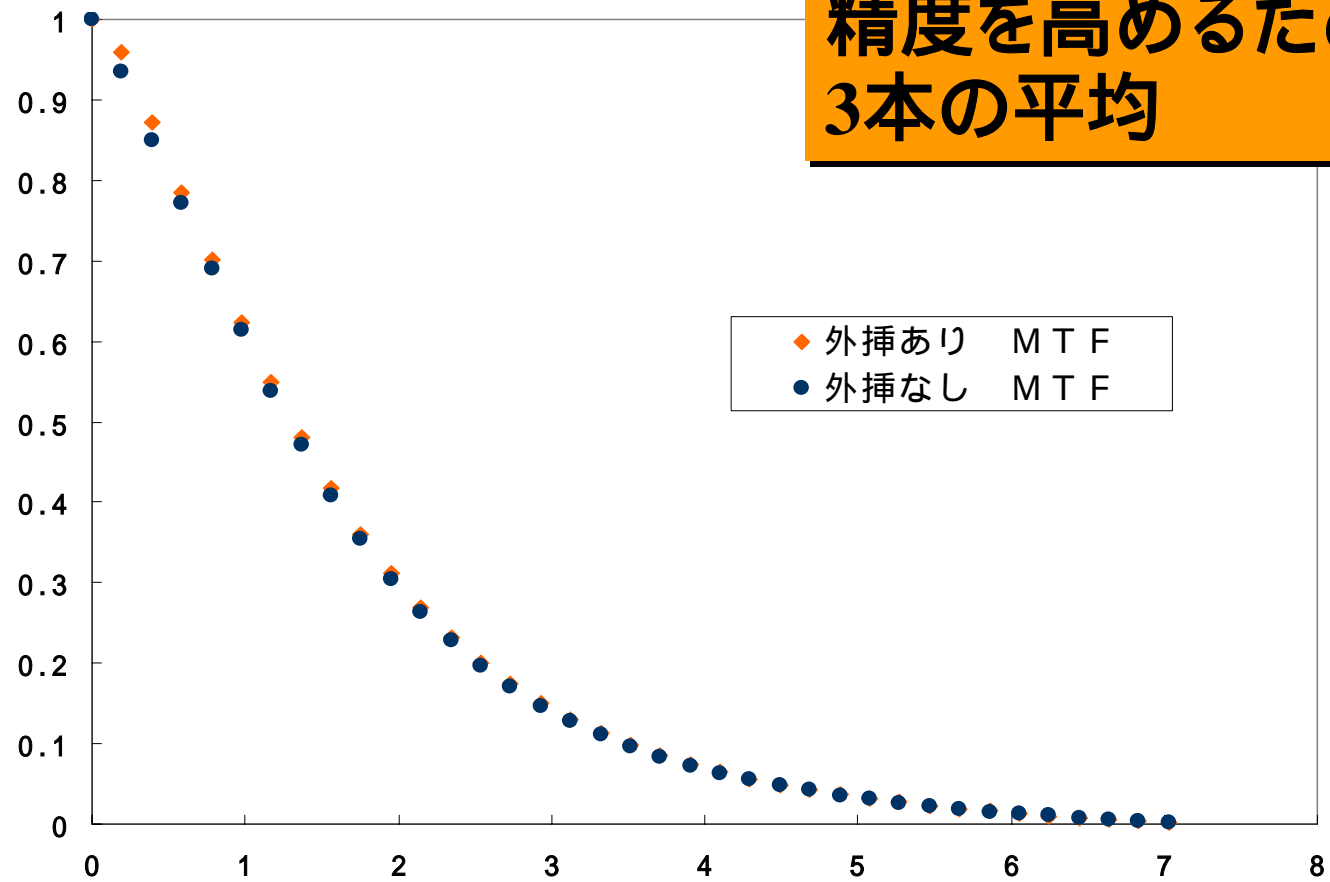
距離(mm)

メニュー「ツール」「分析ツール」「フーリエ解析」



FFTは2のべき乗 ! 512, 1024, 2048,

プリサンプリング MTF



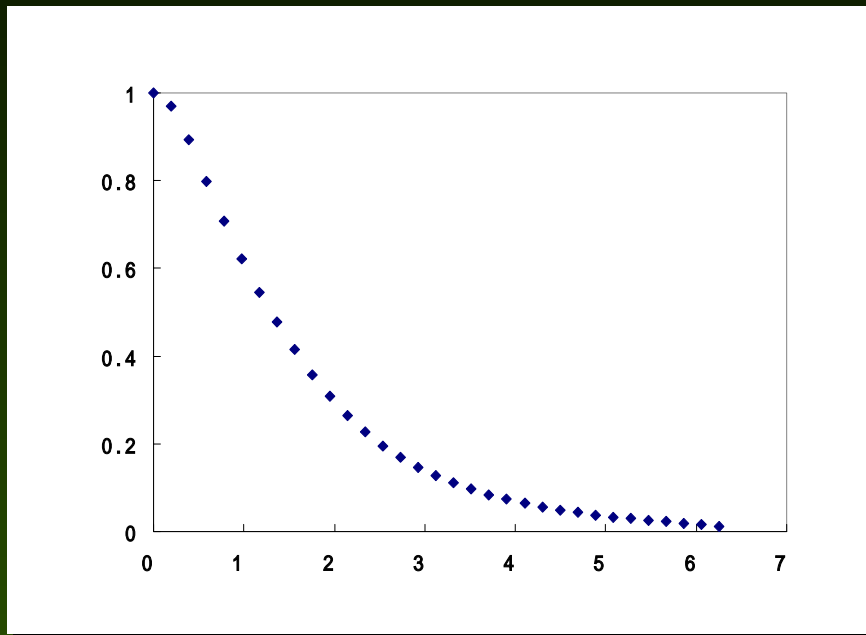
空間周波数 (cycles/mm)

FFTにおける計算個数の違いによるMTFの比較

1024点

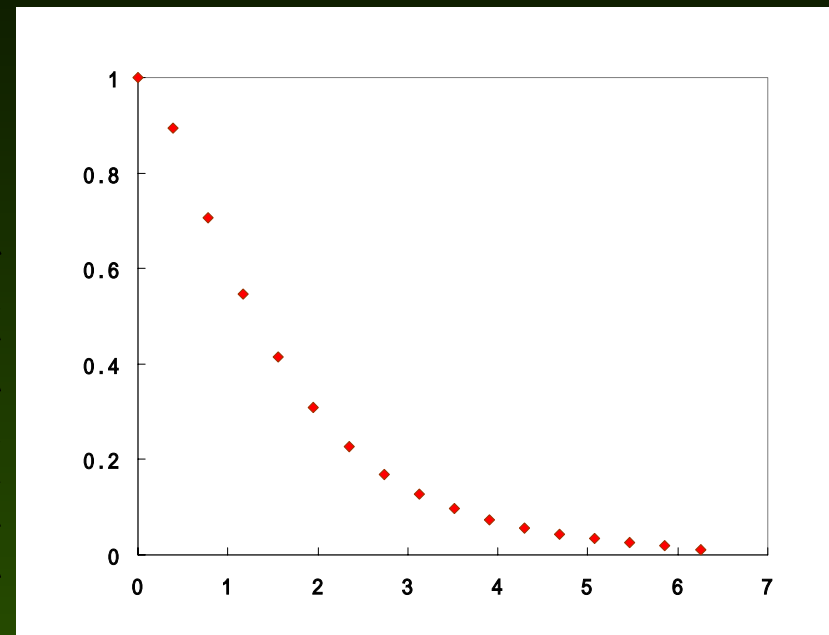
512点

プリサンプリング MTF



空間周波数 (cycles/mm)

プリサンプリング MTF



空間周波数 (cycles/mm)

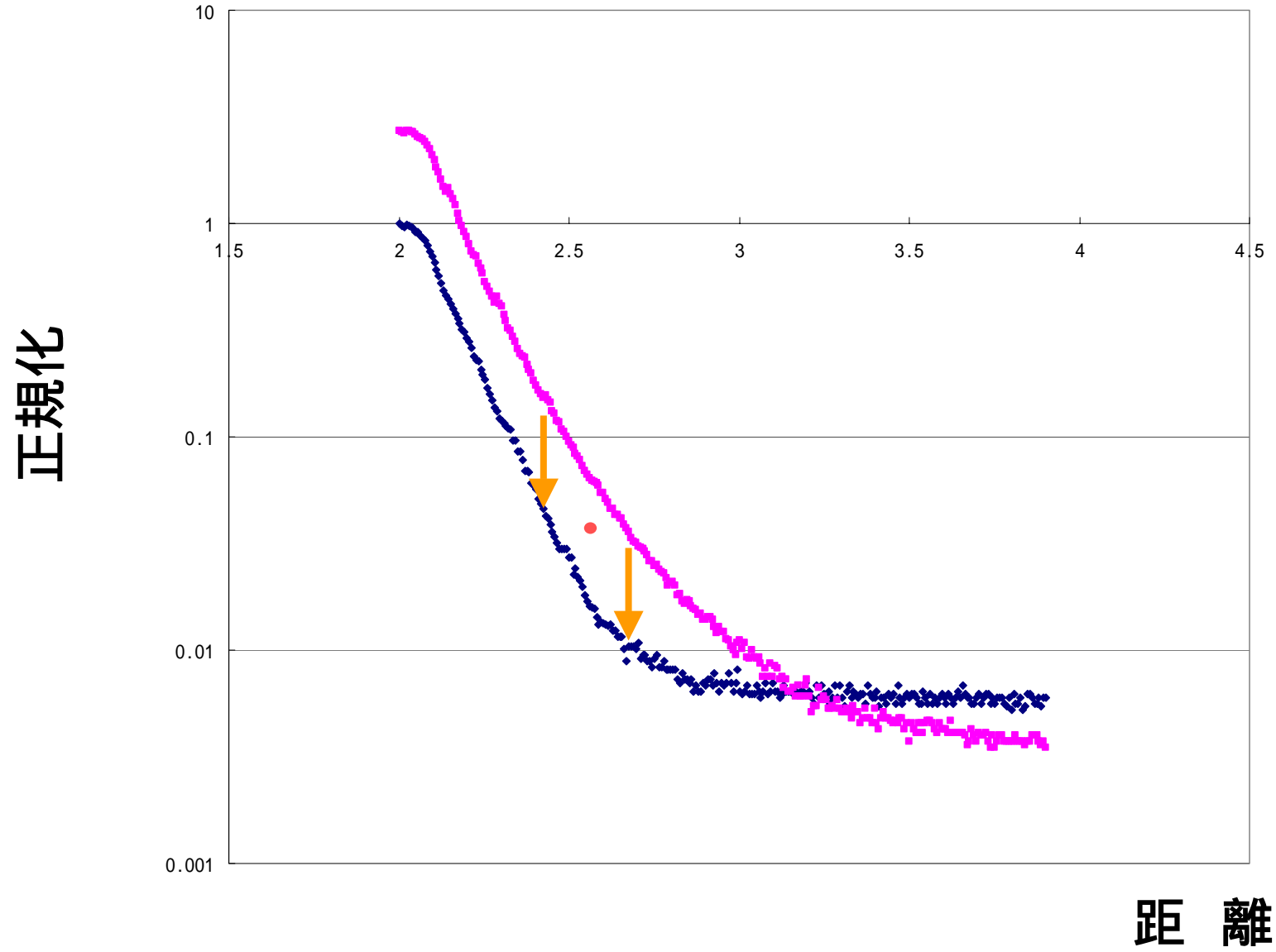
倍数露光法はデジタルに必要？

シーメンス FPD (12bit) 距離 180cm

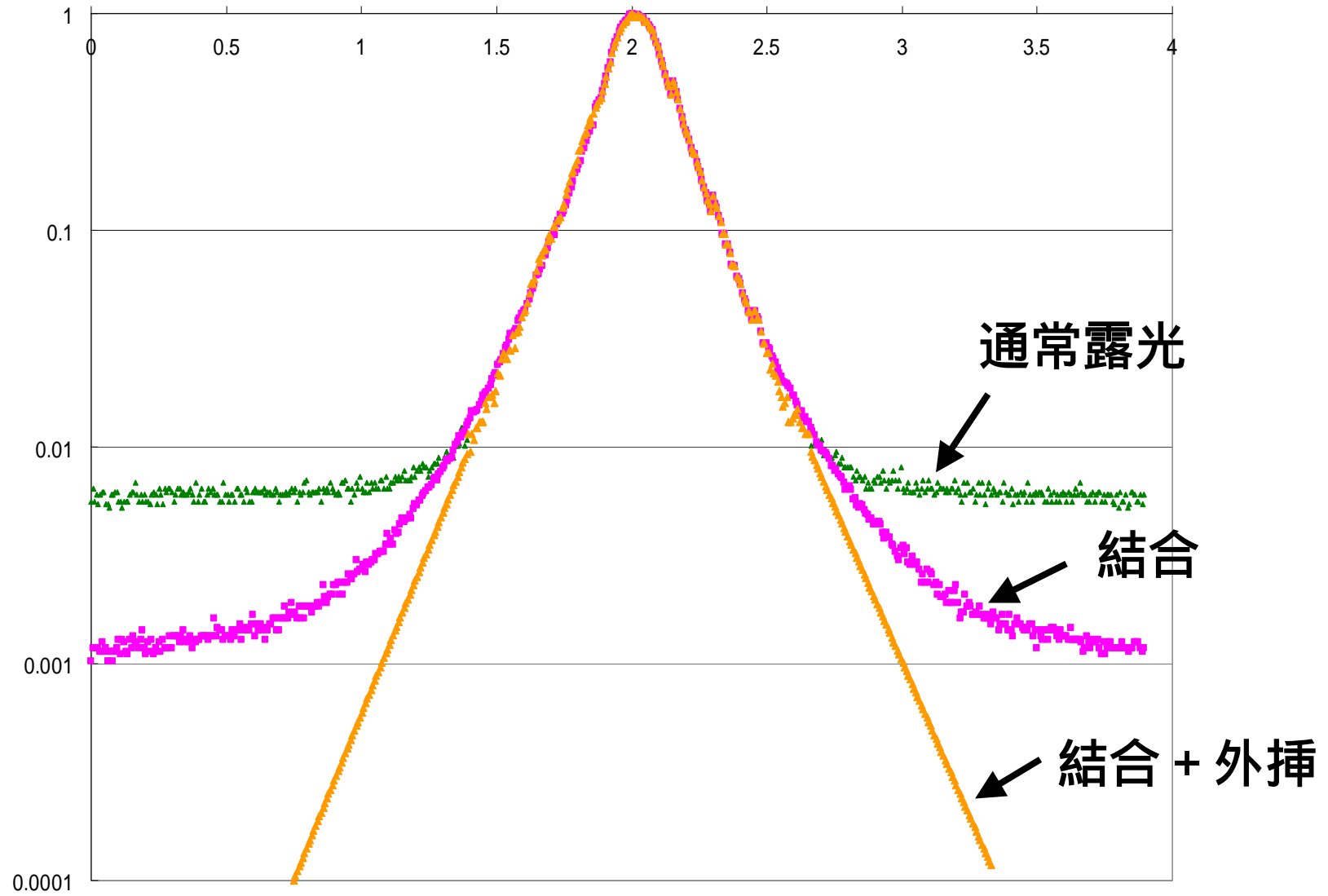
通常露光 120kV 10mAs

倍数露光 120kV 100mAs

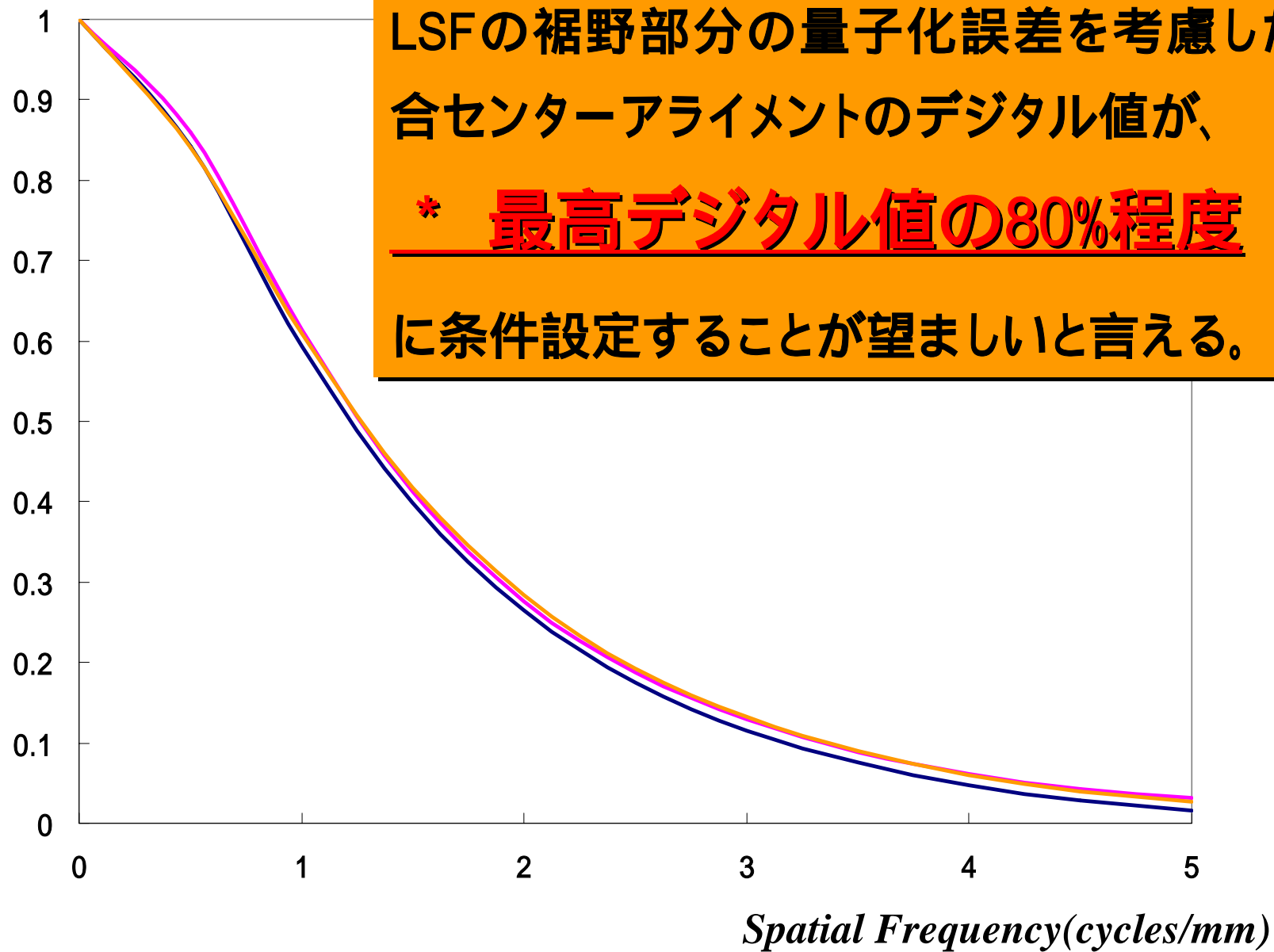
通常露光と10倍露光のLSF



通常露光 & 結合 & 外挿 LSF



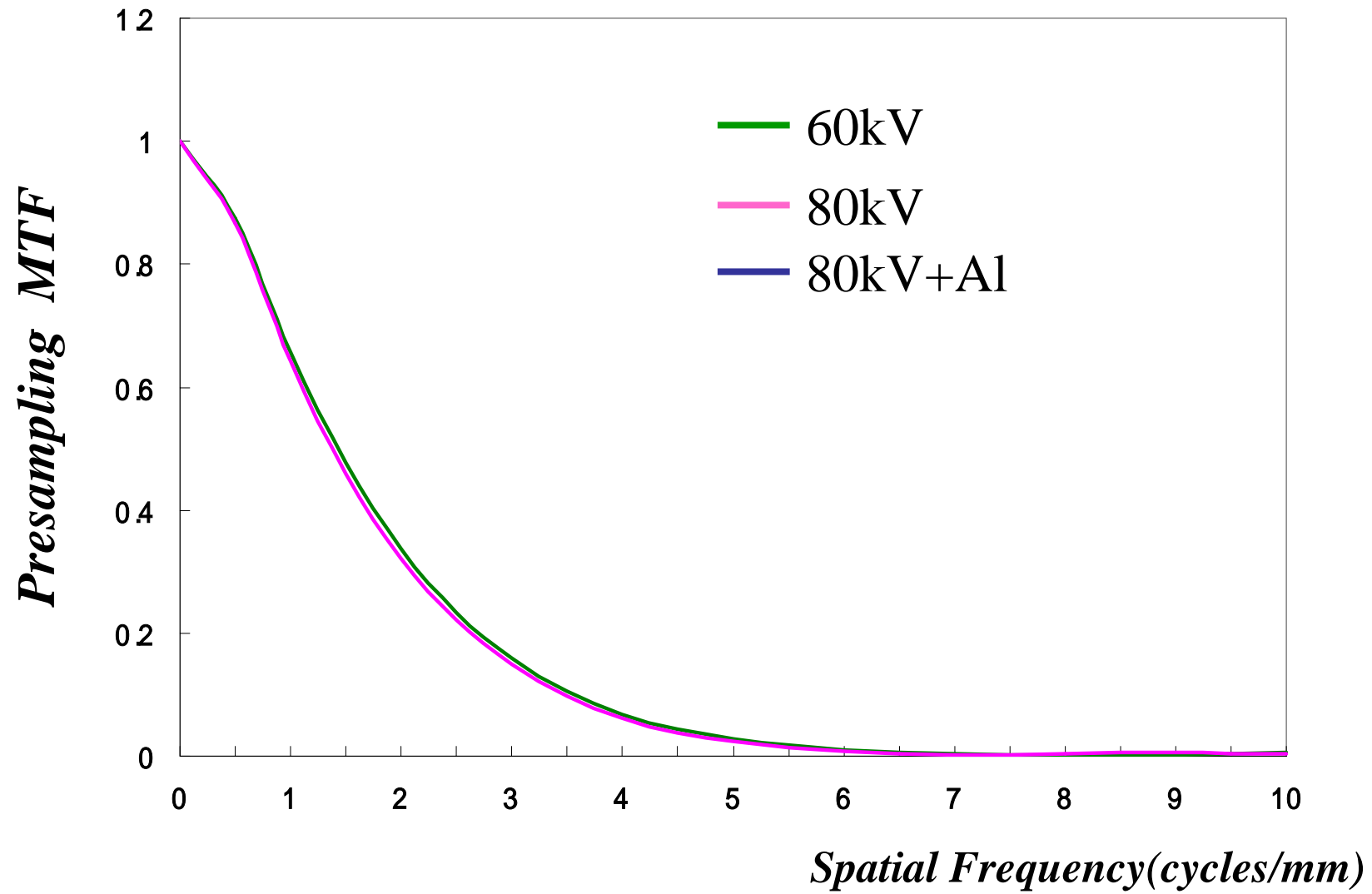
Presampling MTF



MTFの電圧依存性

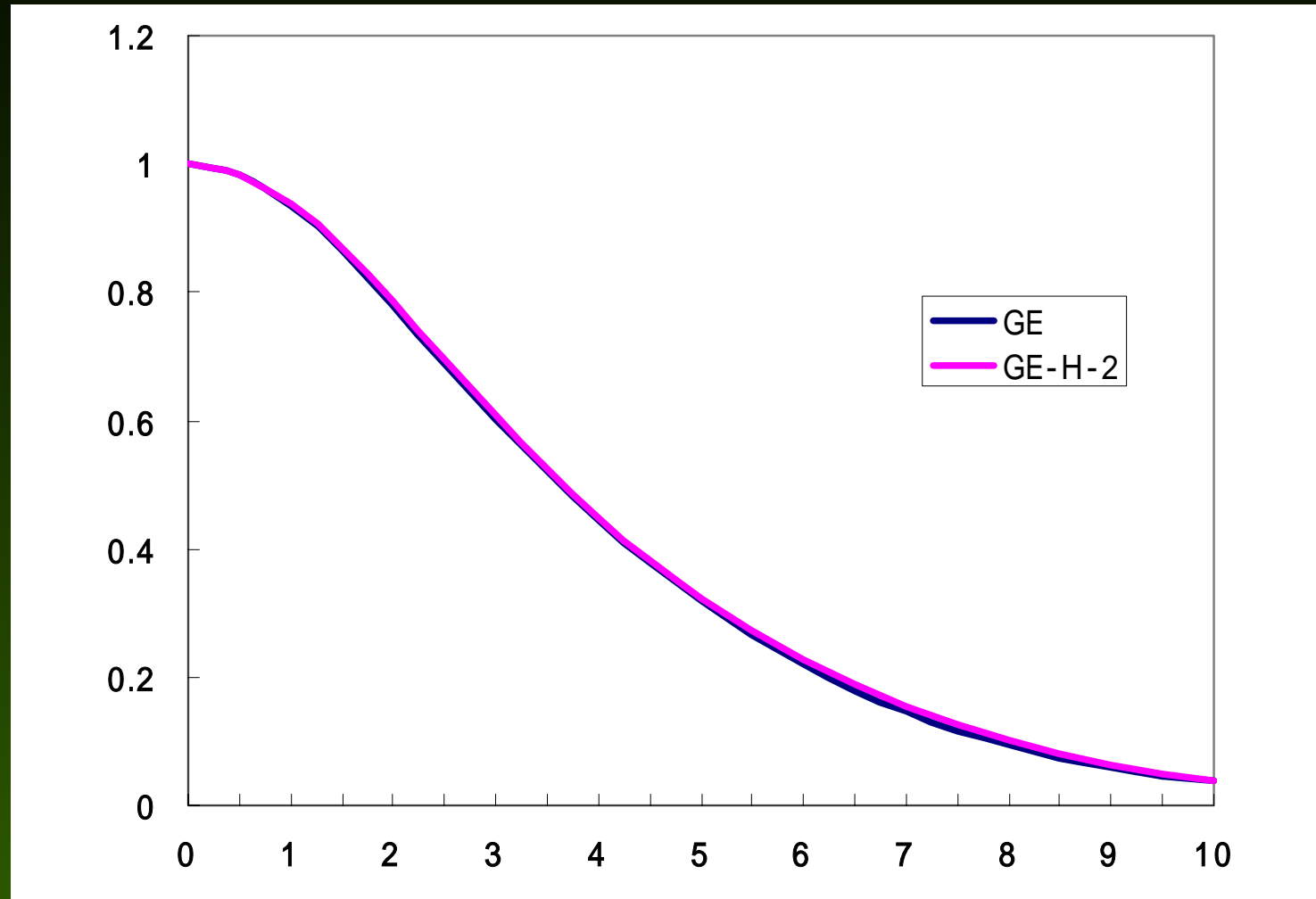
水平方向、垂直方向のMTF

ST-V(100 μ) の各管電圧におけるPre-sampling MTF



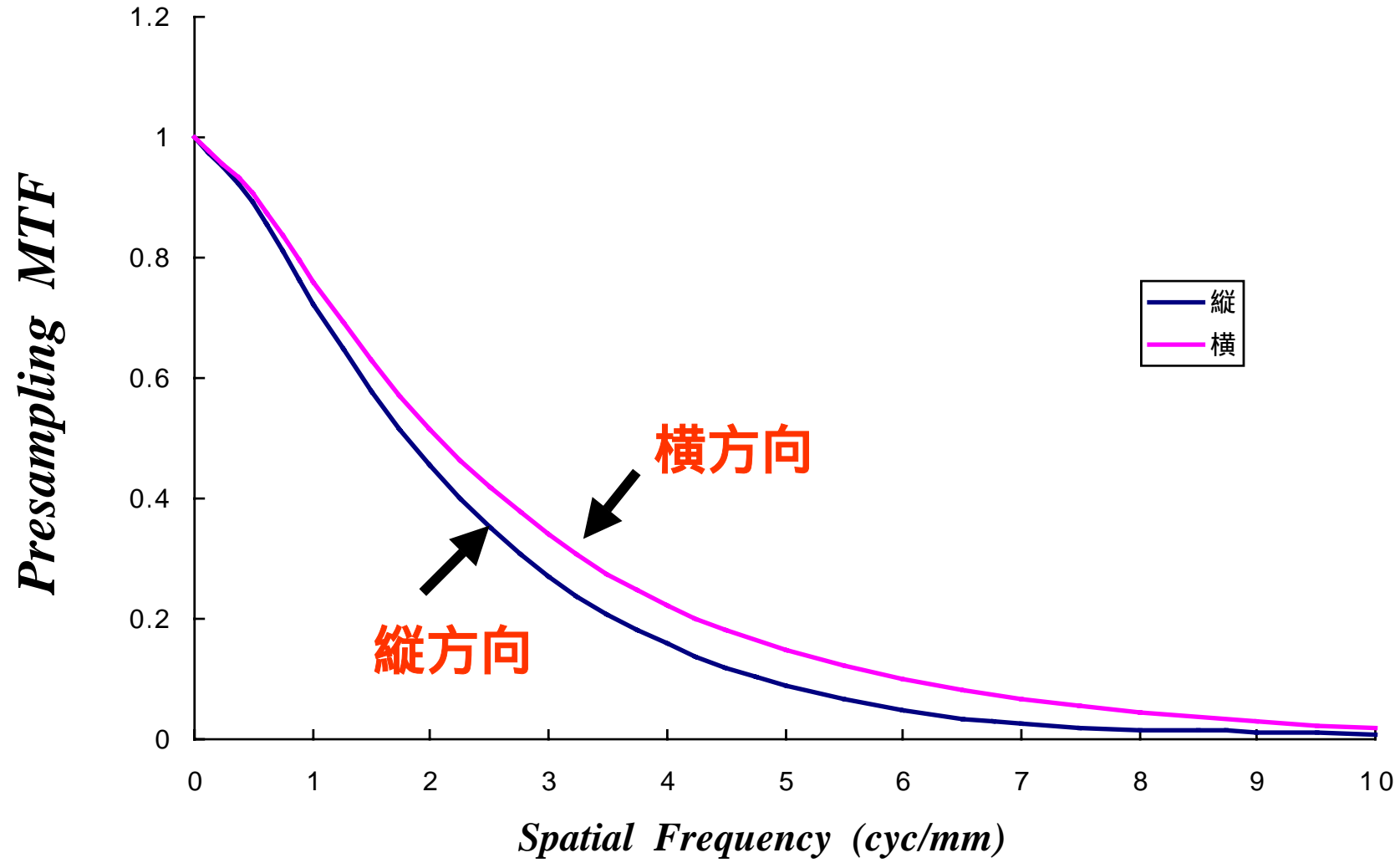
GE FPDのMTF 水平方向&垂直方向

Presampling MTF



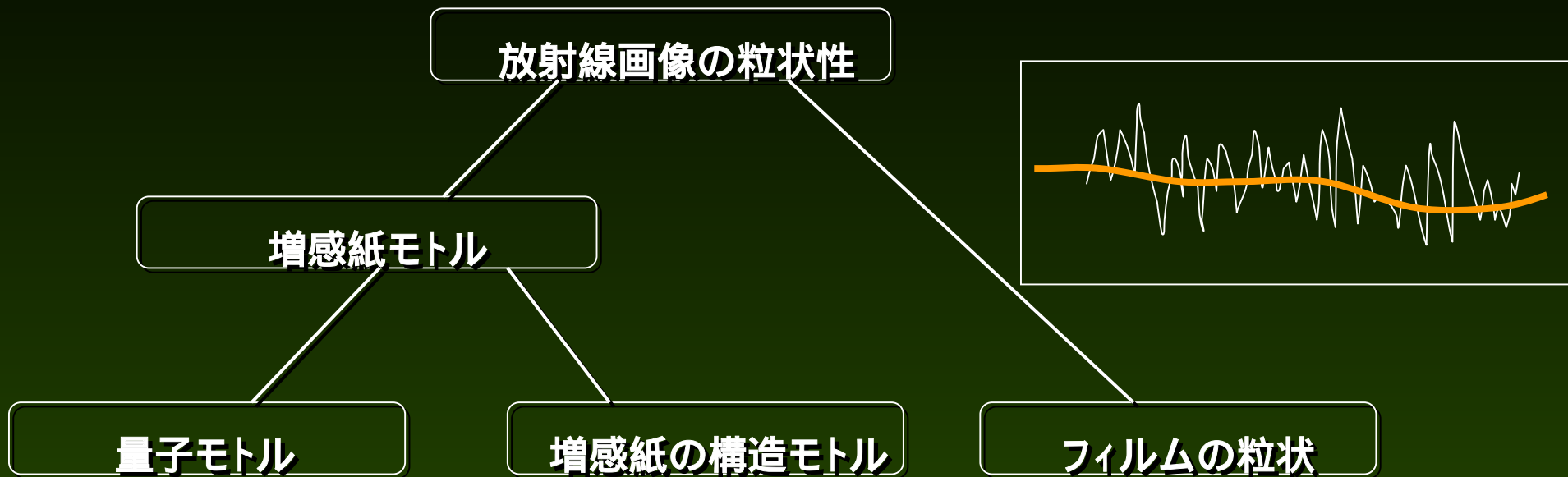
Spatial Frequency(cycles/mm)

Konica REGIUS MTF



Digital Wiener Spectrum

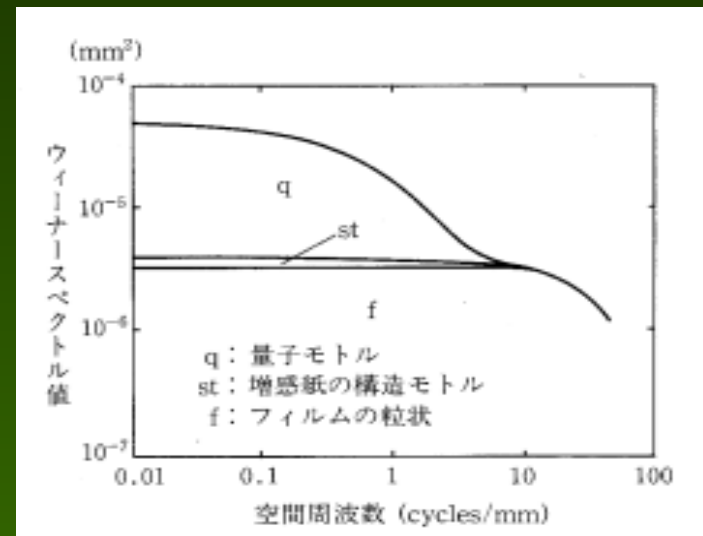
不規則現象の統計的な解析方法の一つに、パワースペクトル密度関数がある。画像の世界では、これをウイナースペクトルとよんでいる。



$$W(u) = \lim_{X \rightarrow \infty} \frac{1}{X} |F(u)|^2$$

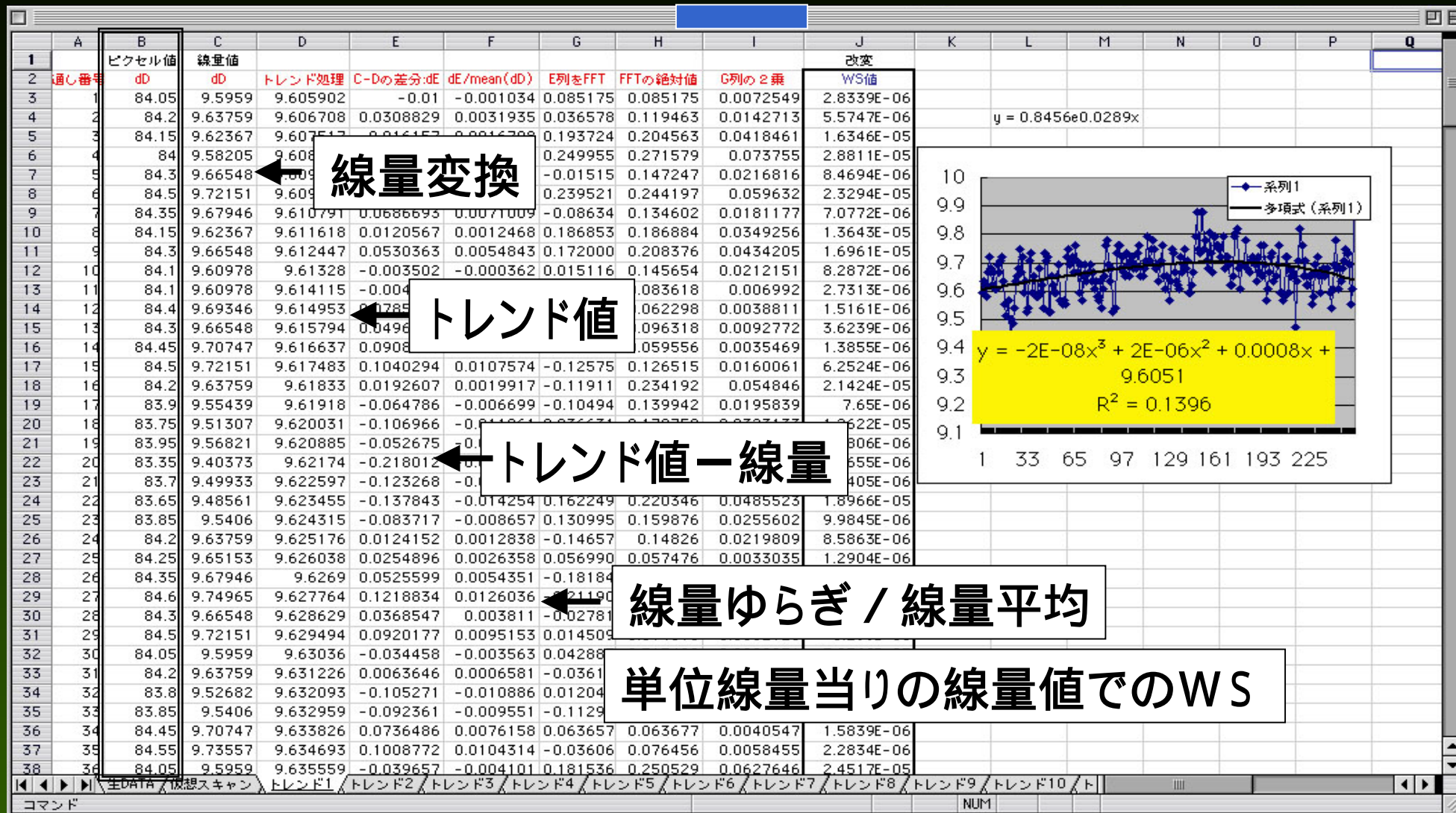
ここで $W(u)$ はパワースペクトル密度関数、 $F(u)$ は

$$F(u) = \int_{-\frac{X}{2}}^{\frac{X}{2}} \Delta f(x) e^{-j2\pi ux} dx$$



WS

- FPDに一樣露光 ($4.15 \mu\text{Gy}$) したデジタル画像データから 256×256 の関心領域を抽出し、ピクセル値をデジタル特性曲線により照射線量に変換した。
- 高さ3mmの仮想スリットを定義し、15ピクセル間隔で走査を行い、合計300本の走査データを得た。
- 各走査データに対してトレンド処理を行い、照射線量のゆらぎに対して照射線量の平均値で除した後、高速フーリエ変換(FFT) し、**デジタルWS**を求めた。



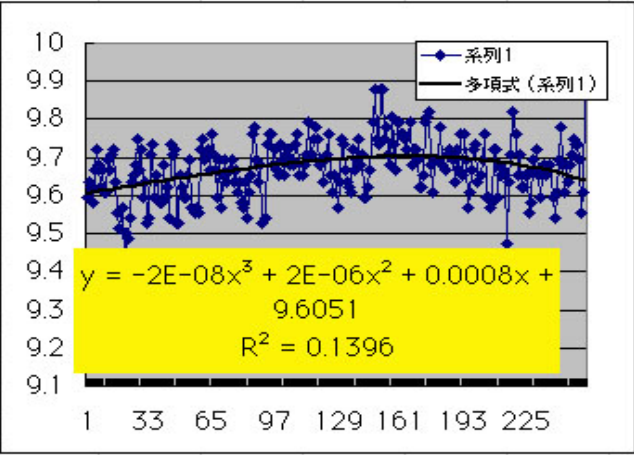
線量変換

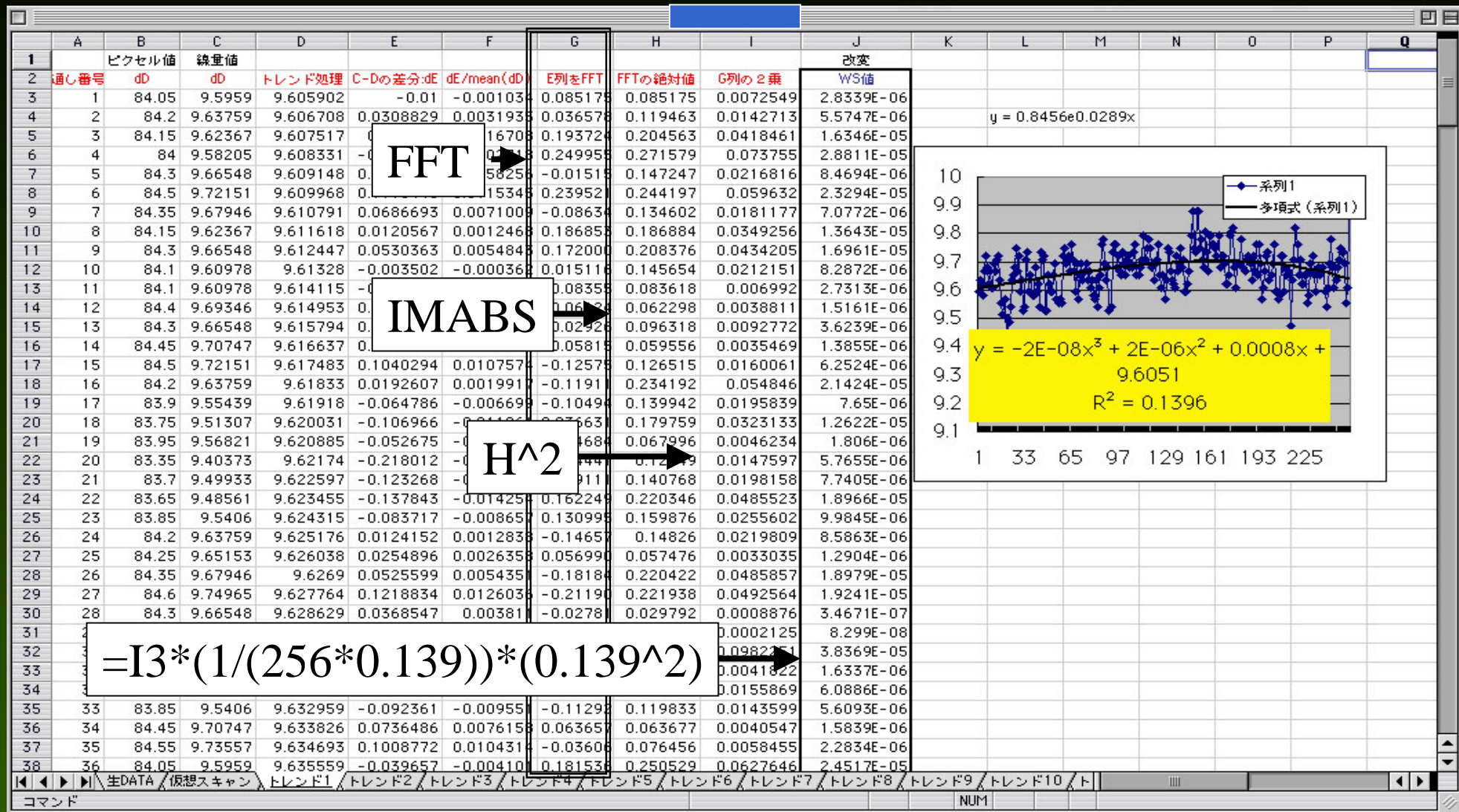
トレンド値

トレンド値 - 線量

線量ゆらぎ / 線量平均

単位線量当りの線量値でのWS





大阪大学(松本先生より)

WSをデジタル計算するとき、試料の全長 X を、サンプリング間隔 ΔX で離散的に読み取ったデータをFFTにかける。

このときFFT演算には X を省略してデジタル値を線量に変換した値のみで計算し Fx を得る。

したがってWSは、サンプリング間隔と試料の全長を含めた計算

$$X = N \times \Delta X$$

$$= 13 * (1 / (256 * 0.1)) * (0.1^2)$$

$$W(u) = \frac{1}{X} |Fx \times \Delta X|^2 \Delta X$$

$$= \frac{(\Delta X)^2}{N \times \Delta X} |Fx|^2 = \frac{\Delta X}{N} |Fx|^2$$

曲線で囲まれた図形の面積を求めるとき、棒グラフ上に区切ったあと、それぞれの高さだけを演算(この場合積算)し最後に横の長さを掛けて面積を求めることと同じ操作をしていること。

16本の「1次元スキャンデータ」から
平均してWSを求める。

このときのスペクトル値の
理論的標準誤差(SE)は、25%。

100本で 10 %

400本で 5 %

広島県立保健福祉大学(吉田先生より)

【結果】

at 1.25 mGy

